

# INF5490 RF MEMS

L11: RF MEMS kapasitanser

# Dagens forelesning

- Tunbare og programmerbare passive komponenter i RF kretser
- Tunbare **RF MEMS kapasitanser**
  - **Vertikalt** tunbare kapasitanser
    - 2-plate kapasitans
    - 3-plate kapasitans
    - Dobbelt luft-gap kapasitans
    - Andre eksempler
  - **Lateralt** tunbare kapasitanser
  - **Termisk** tunbare MEMS kapasitans
  - **Piezoelektrisk** aktuator tunbare kapasitanser
  - Tuning ved endring av **dielektrisk** materiale
- RF MEMS kapasitans banker

# Passive komponenter i RF-kretser

- → **MEMS kondensatorer og spoler**
- Aktuelle som **erstatninger** for "off-chip" passive komponenter
- Tunbarhet og programmerbarhet er ønskelig
  - Tunbare/programmerbare **MEMS kapasitanser**
    - = **varactor** ("variable reactor")
    - Enkle kapasitanser
    - Programmerbare kapasitans-banker
  - Enkle/programmerbare **MEMS induktanser** (L12)
    - Enkle faste induktanser
    - Programmerbare induktans-banker

# Bruksområde for tunbare kapasitanser

- Eks. for frekvenskontroll i **VCO**
  - = "Voltage controlled oscillator"
  - Høye krav til
    - Stabilitet
    - Lav fase-støy
    - Bredt frekvensområde

# MEMS konkurrerer med dagens halvleder-løsninger

- ÷ MEMS varaktorer har ikke hatt en like stor utvikling som MEMS svitsjer
- ÷ Mange diskrete Si og GaAs varaktorer eksisterer
  - → 30 GHz
  - Eks.  $Q = 30-60$  for 0.5-5 GHz (SiGe)
- ÷ Tunbarhetsområdet for MEMS varaktorer er lite
  - 1.2 – 2.5
  - Tilsvarende for halvleder-varaktorer 4 – 6
- ÷ MEMS er følsom for ulike støyeffekter som gjør seg gjeldende ved lav fjærkonstant,  $k$ 
  - Men lav  $k$  er ønskelig for 3 – 5 V anvendelser

# Hvorfor da MEMS varaktorer?

- + Har potensial for **høye Q-verdier**
  - $Q = 100 - 400$  for mm-frekvenser
- + Kan tåle store RF spennings-sving
- + Kan produseres billig på glass, keramikk, høy-resistivitets Si-substrat
  - For eksempel for "lav-kost" 3 – 60 GHz tunbare nettverk og filtre
- ÷ → Ennå en tid før MEMS varaktorer kan erstatte GaAs varaktorer, spesielt i området under 5 GHz
- + Likevel: er den RF MEMS komponent som er nærmest **anvendelser i markedet**
  - Forholdsvis moden teknologi
  - Det finnes allerede mange demonstrasjoner av MEMS erstatnings-komponenter, DC → 100 GHz

# Særtrekk og utfordringer for RF MEMS kapasitanser

- Problem med høy nok TR
  - → Oppnå tilstrekkelig **Tuning Range (TR)**
    - Definisjon TR:  $C_{\max}/C_{\min}$
    - (>2), siden halvleder varaktorer har TR > 4
- Problem forbundet med å ha **lav fjær-stivhet**
  - Er ønskelig pga.
    - <5V operasjon
  - Er problematisk pga.
    - Aksellerasjon, RF power selv-aktivering, støy-effekter

# Særtrekk og utfordringer, forts.

- Design-mål for RF MEMS kapasitanser
  - Høy Q-verdi ( $>100$ ) over et bredt frekvensbånd (wideband)
  - Enkelhet, sammenlignet med konkurrerende teknologier
  - Billigere
  - Mer pålitelig
  - Enkel og billig pakking



# Hvorfor etterstrebes høy Q-verdi?

- Q-faktor karakteriserer tap pga. effekt-dissipering i elementene
- Q bør være størst mulig for å redusere Insertion loss
- Quality factor fundamentals (definition)

$$Q = 2\pi \frac{\text{maximum instantaneous energy stored in circuit}}{\text{energy dissipated per cycle}}$$

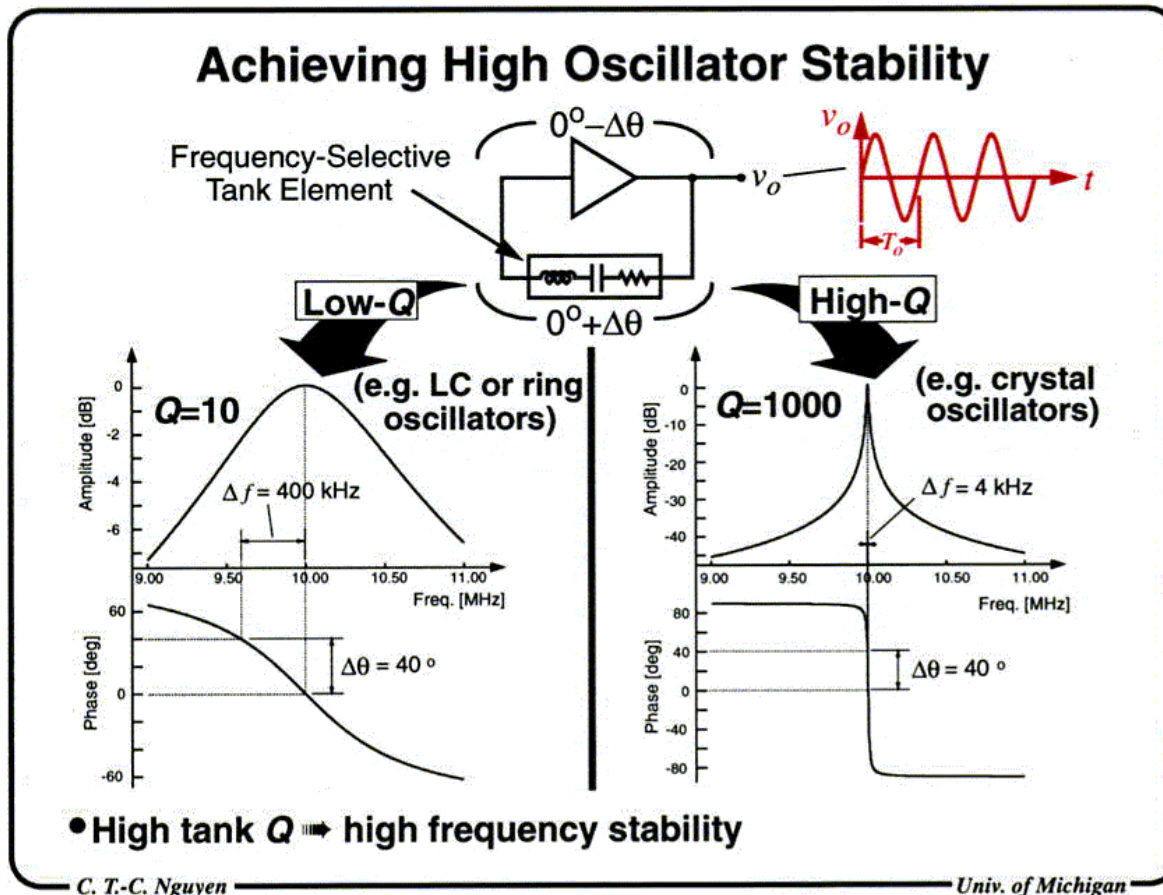
Characterize power loss due to dissipation mechanisms in reactive elements.

$$Q_{\text{Tuned Circuit}} = \frac{f_0}{B} \quad Q_{\text{Capacitor}} = \frac{\omega_0 C}{G} \quad Q_{\text{Inductor}} = \frac{\omega_0 L}{R}$$

Unloaded : Q (intrinsic)   
 Loses due to external load :  $Q_L$   $\rightarrow$  Insertion loss at resonance:  $IL(\text{dB}) = 20 \log \left( 1 + \frac{Q_L}{Q} \right)$

# Korrelasjon mellom Q-faktor og oscillator-stabilitet

- Q-faktoren er helt sentral når det gjelder RF krets-ytelse!



# Parallell plate kondensator

- Grunnleggende ligninger
  - $Q = V C$ ,  $I = C dV/dt$
  - $C = \varepsilon A / g$
- NB! C kan generelt tunes ved hjelp av 3 parametre
  - $g$ , gap
  - $A$ , areal
  - $\varepsilon$ , dielektrisitetskonstant

# Tunbare RF MEMS kapasitanser

- **Elektrostatisk aktivering** er en dominerende mekanisme for tuning
  - Lavt effektforbruk
- Noen kategorier
  - Vertikal elektrostatisk forskyvning
    - Parallell plate kondensator
    - Tuning av gapet (ikke-lineær endring)
  - Horisontal (lateral) forskyvning
    - Tuning av arealet (lineær endring)
  - Termisk tunbare MEMS kapasitanser
  - Piezoelektrisk aktuator tunbare kapasitanser
  - Tuning ved å endre dielektrisk materiale

# Tunbare RF MEMS kapasitanser, forts.

- Bruk av programmerbare **kapasitans-banker**
  - Innkobling av faste C-verdier
  - Array av faste kapasitanser
  - MEMS svitsjer for innkobling

# Ekvivalentkrets for kapasitans

- Ved høye frekvenser → induktans
  - har en karakteristisk **selvresonans-frekvens**
  - Induktansen bør holdes så lav som mulig slik at selvresonans ligger mye høyere enn bruksområdet

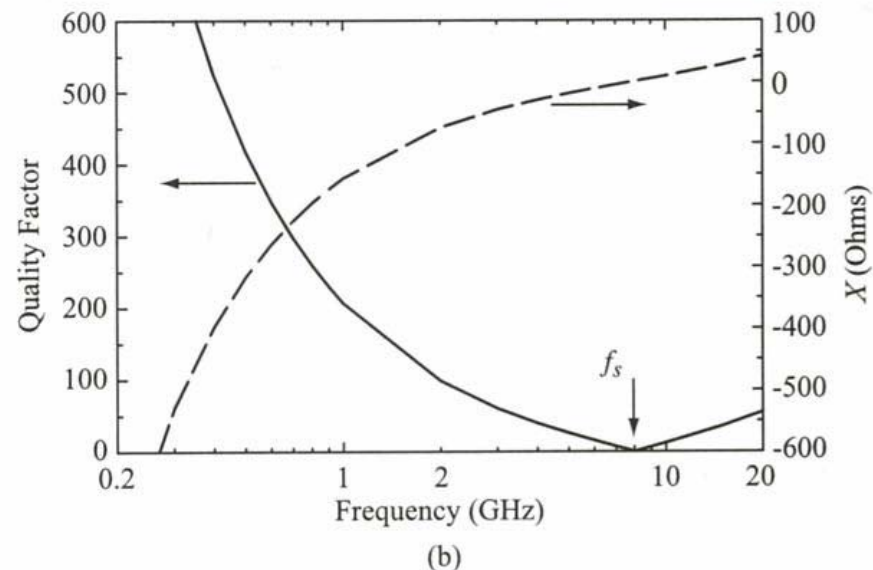
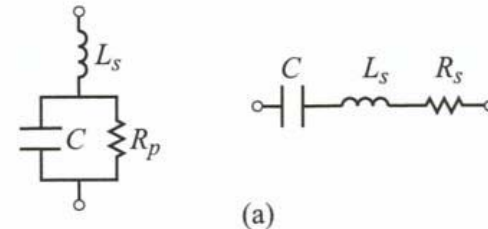


Figure 11.1. (a) Capacitor models. (b) Calculated reactance and  $Q$  of a 1-pF capacitor with  $L_s = 0.4$  nH and  $R_s = 0.83$   $\Omega$  ( $f_s = 8$  GHz).

# Impedans og Q-faktor til en diskret kondensator

Q-faktor angis for  $\omega L \ll 1/\omega C$

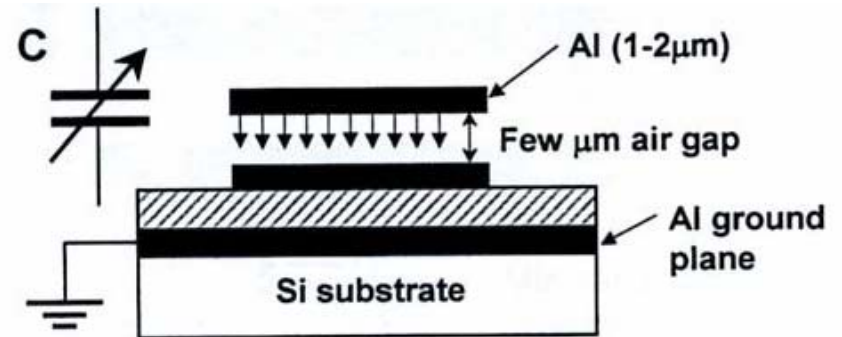
$$\begin{aligned} Z &= R_s + j\left(\omega L_s - \frac{1}{\omega C}\right) && \text{for a series model} \\ &\simeq \frac{1}{\omega^2 C^2 R_p} + j\left(\omega L_s - \frac{1}{\omega C}\right) && \text{for a parallel model} \end{aligned} \quad (11.2)$$

The capacitor quality factor,  $Q$ , is derived to be

$$\begin{aligned} Q &= \frac{|\text{Im}(Z)|}{\text{Re}(Z)} = \frac{1}{\omega C R_s} && \text{for a series model} \\ &= \omega C R_p && \text{for a parallel model} \end{aligned} \quad (11.3)$$

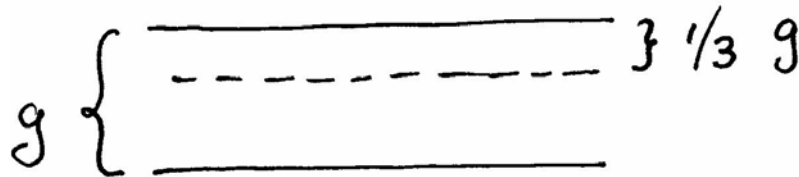
# To-plate tunbar MEMS kapasitans

- Young & Boser, Berkeley
- Gap-tuning
- Den ene platen kan beveges ved elektrostatiske aktivering
- Opererer under likevekt mellom elastiske og elektriske krefter





# Beregning av TR for 2-plate kapasitans



$$C_{min} = \epsilon \frac{A}{g}$$

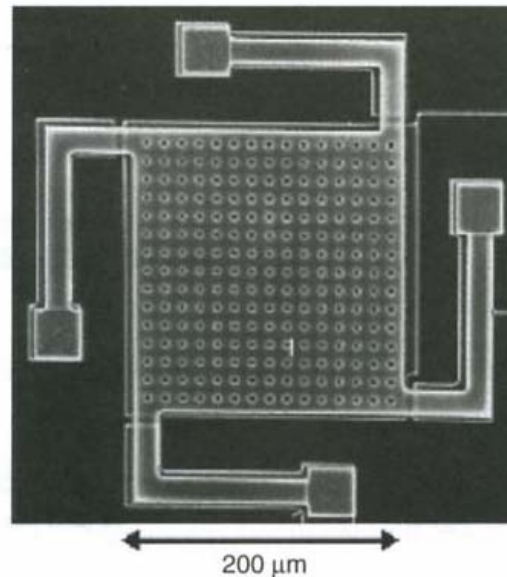
$$C_{max} = \epsilon \frac{A}{\frac{2}{3}g} = 1.5 C_{min}$$

$$C_{max} = 150\% \cdot C_{min} \Rightarrow TR = 150\%$$

Teoretisk tuning-område 50%. Begrenset av pull-in effekten

# Young & Boser, Berkeley, forts.

- Etsing av hull i kapasitans-platen
  - For mindre demping (squeezed-film damping)
  - Positivt for "release"-trinnet i en prosess



**Figure 4.33** Top view of a micromachined variable capacitor. Reproduced from D.J. Young and B.E. Bover, 1996, 'A micromachined variable capacitor for monolithic low-noise VCOs', in *Proceedings of the International Conference on Solid-state sensors and Actuators*, IEEE, Washington, DC: 86–89, by permission of IEEE, © 1996 IEEE

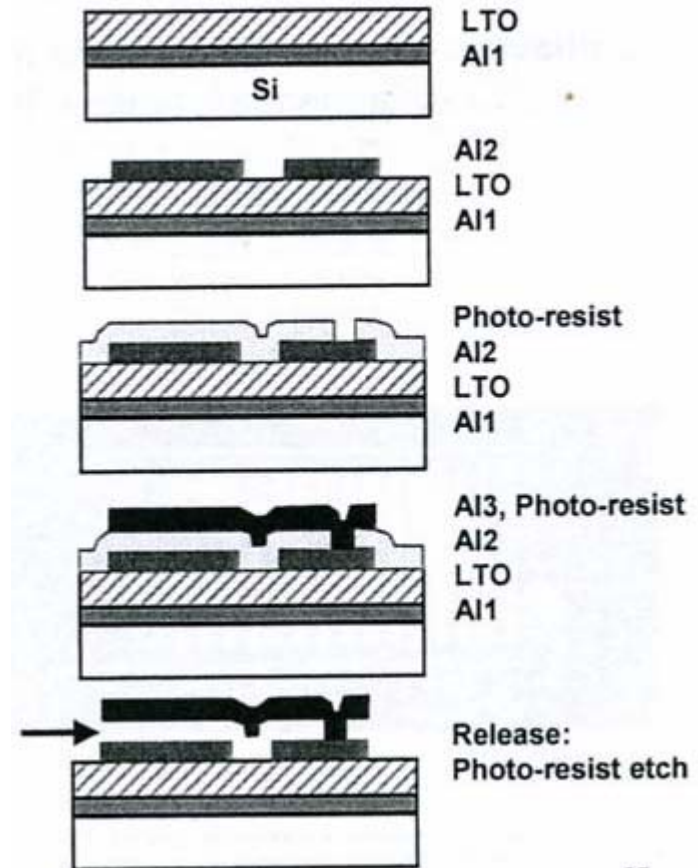
# Young & Boser, Berkeley, forts.

Typiske resultater fra implementeringen:

- Theoretical tuning range: 50% (limited by pull-in effect)
- Practical tuning range (demonstrated):  
TR=16%,  $C_{\max}=2.46\text{pF}$ ,  $C_{\min}=2.11\text{pF}$ ,  $V_A=5\text{V}$
- RF performance: Q=62 @ 1GHz

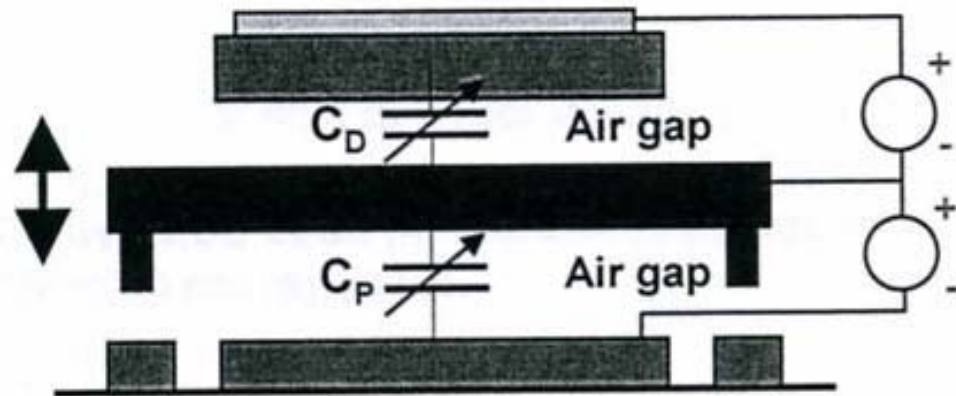
# Typiske trekk, Berkeley-eks.

- Overflate mikromaskinering
  - 2 metall-lag + Al jordplan

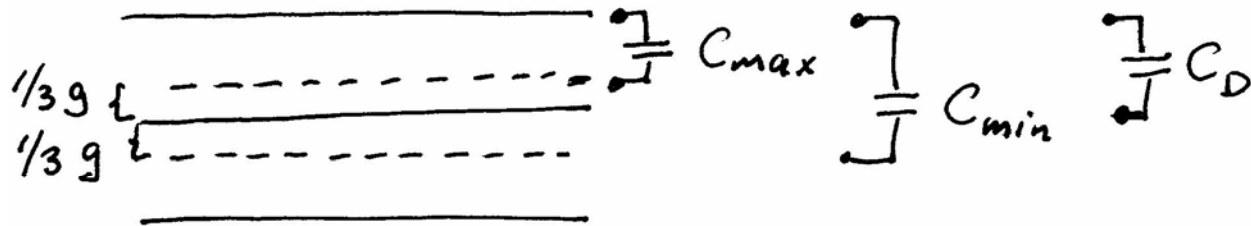


# 3-plate tunbar MEMS kapasitans

- TR kan utvides ved å introdusere en 3dje plate
  - A. Dec & K. Suyama: "Micromachined Electro-Mechanically Tunable Capacitors and Their Applications to RF IC's" 1998.  
**Columbia University**



# Beregning av TR for 3-plate



$$C_{max} = \frac{3}{2} C_D$$

$$C_{min} = \epsilon \frac{A}{\frac{4}{3} g} = \frac{3}{4} C_D$$

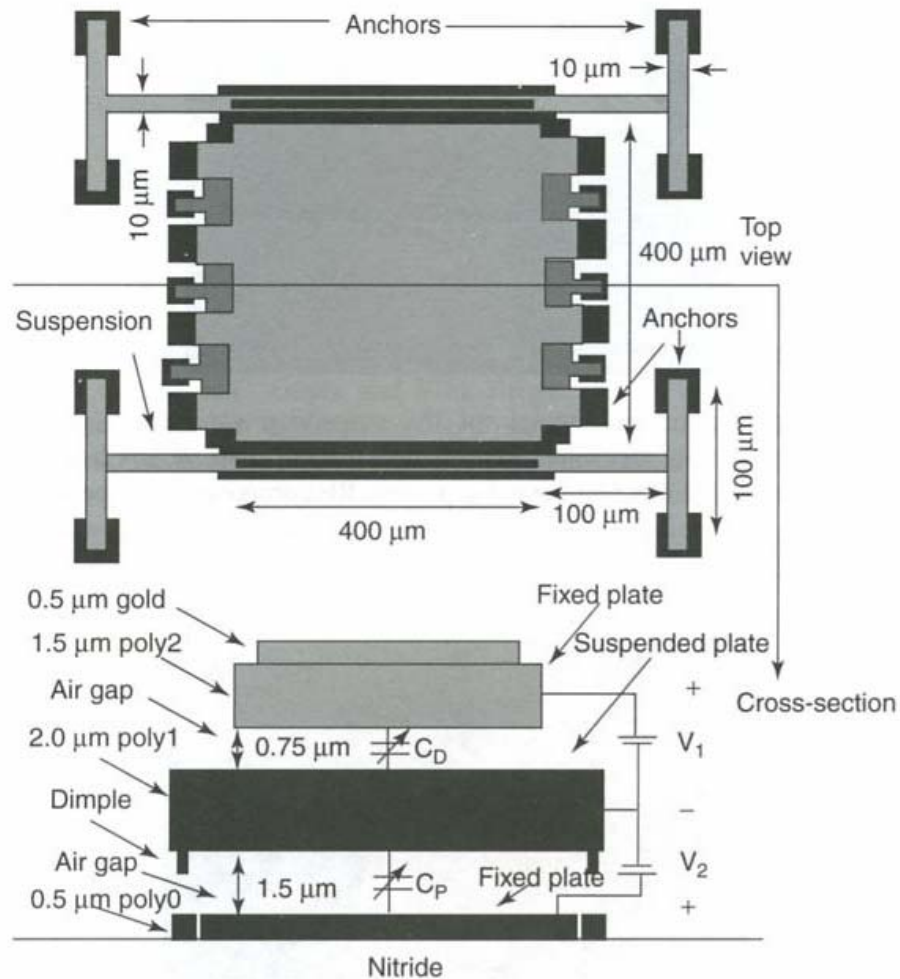
$$TR = \frac{C_{max}}{C_{min}} = \frac{\frac{3}{2} C_D}{\frac{3}{4} C_D} = 2 = 200\%$$

Dvs.: kan tunes 100%

# Demonstrerte verdier, Dec & Suyama

- Theoretical tuning range: 100%
- Practical tuning range:  
TR=87%,  $C_{\min}=3.4\text{pF}$ ,  $C_{\max}=6.4\text{pF}$ ,  $V\sim 4\text{V}$
- RF performance:  $Q = 15.4 @ 1\text{GHz}$ ,  $7.1 @ 2\text{GHz}$

# Dec & Suyama, forts.



**Figure 4.35** Top and cross-sectional views of three-plate varactor. Reproduced from A. Dec and K. Suyama, 1998b, 'Micromachined electromechanically tunable capacitors and their applications to RF IC's', *IEEE Transactions on Microwave Theory and Techniques* 46(12): 2587–2596, by permission of IEEE, © 1998 IEEE



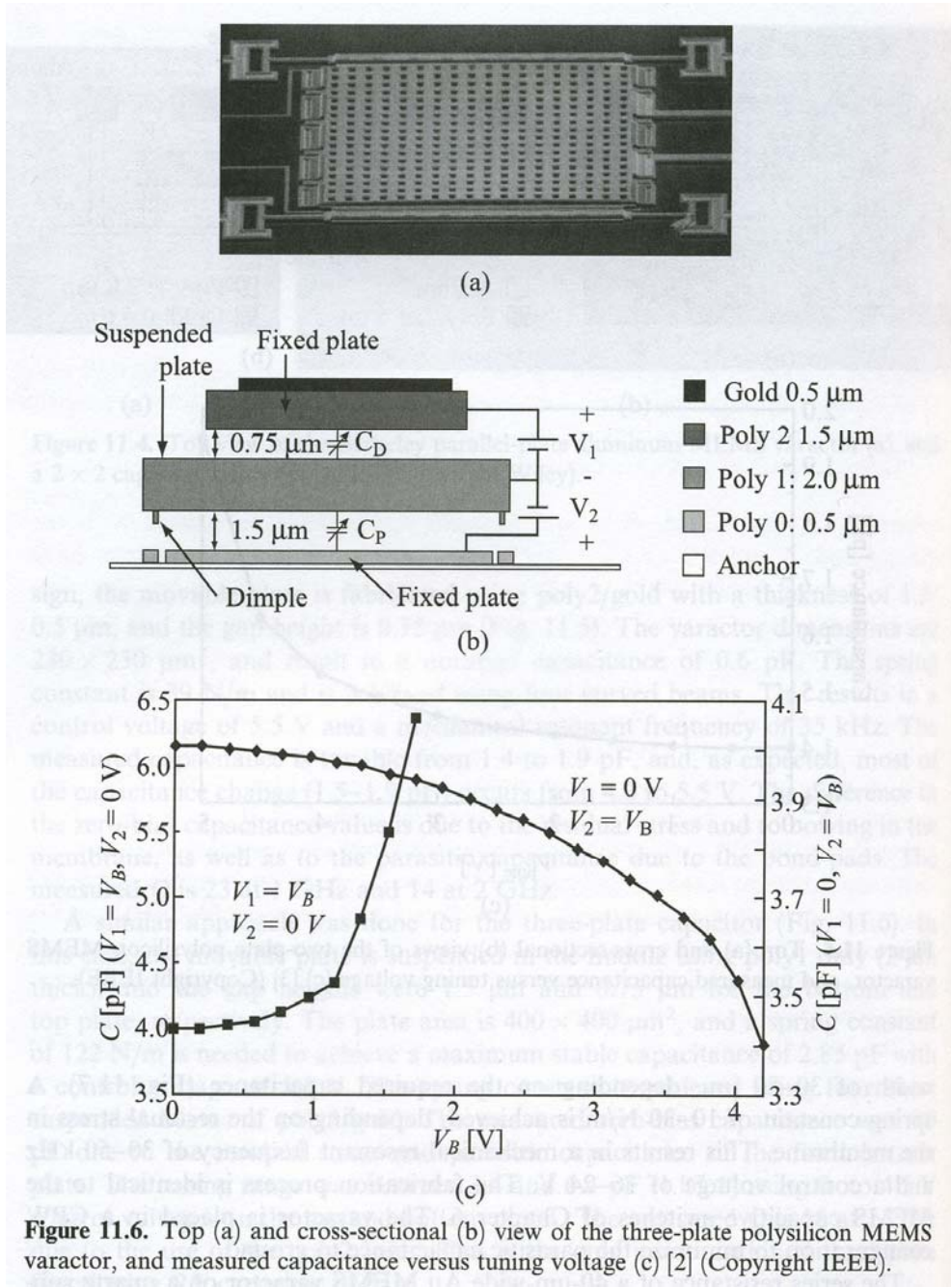


Figure 11.6. Top (a) and cross-sectional (b) view of the three-plate polysilicon MEMS varactor, and measured capacitance versus tuning voltage (c) [2] (Copyright IEEE).

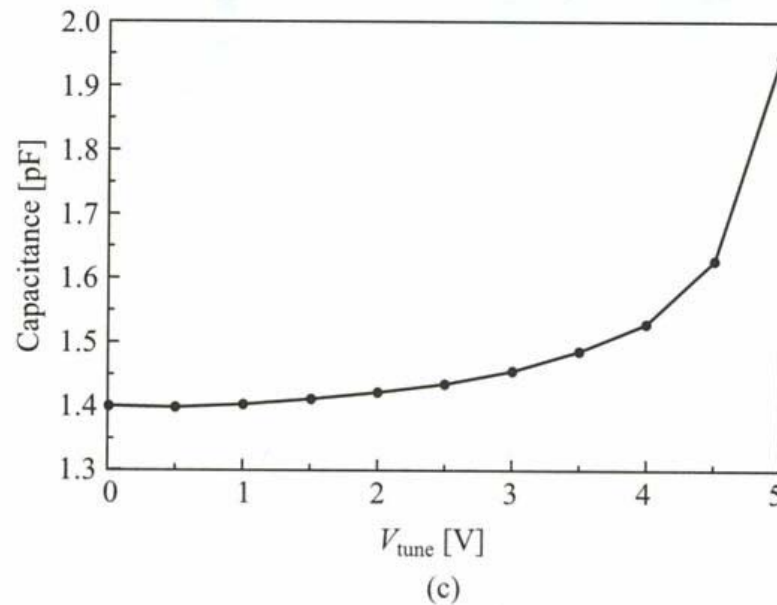
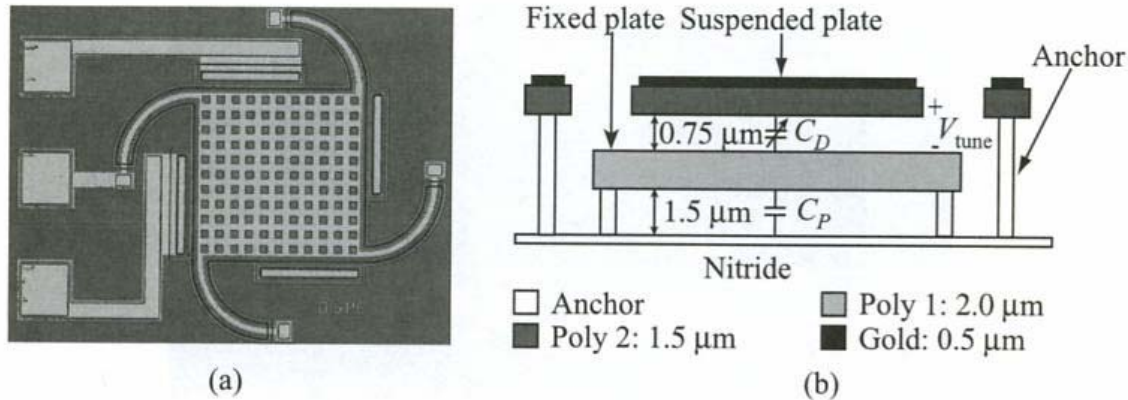
# Dec & Suyama, forts.

- **Prosess**
  - Standard 3-lags poly overflate mikromaskinering (MUMP's) med HF etsing og "supercritical drying"
  - Poly brukes ofte som parallell plate selv om den har mindre konduktiviteten enn Al pga. overlegne mekaniske egenskaper

TABLE I  
SUMMARY OF SELECTED MUMP'S PROCESS PARAMETERS

<i>Layer</i>	<i>Thickness</i>	<i>Sheet Resistance</i>
Poly0	0.5 $\mu\text{m}$	30 $\Omega/\text{sq}$
Poly1	2.0 $\mu\text{m}$	10 $\Omega/\text{sq}$
Poly2	1.5 $\mu\text{m}$	20 $\Omega/\text{sq}$
Gold	0.5 $\mu\text{m}$	0.06 $\Omega/\text{sq}$

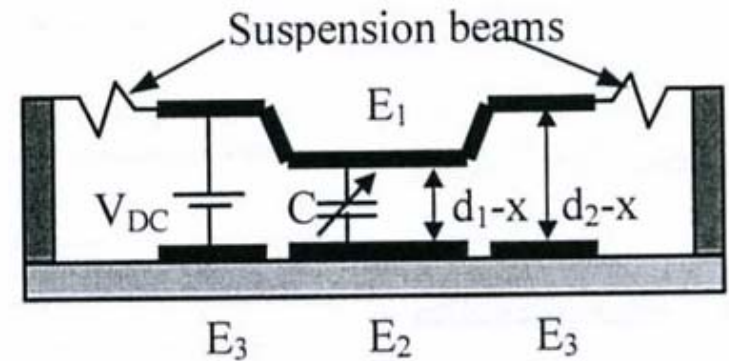
# Dec & Suyama, eks2



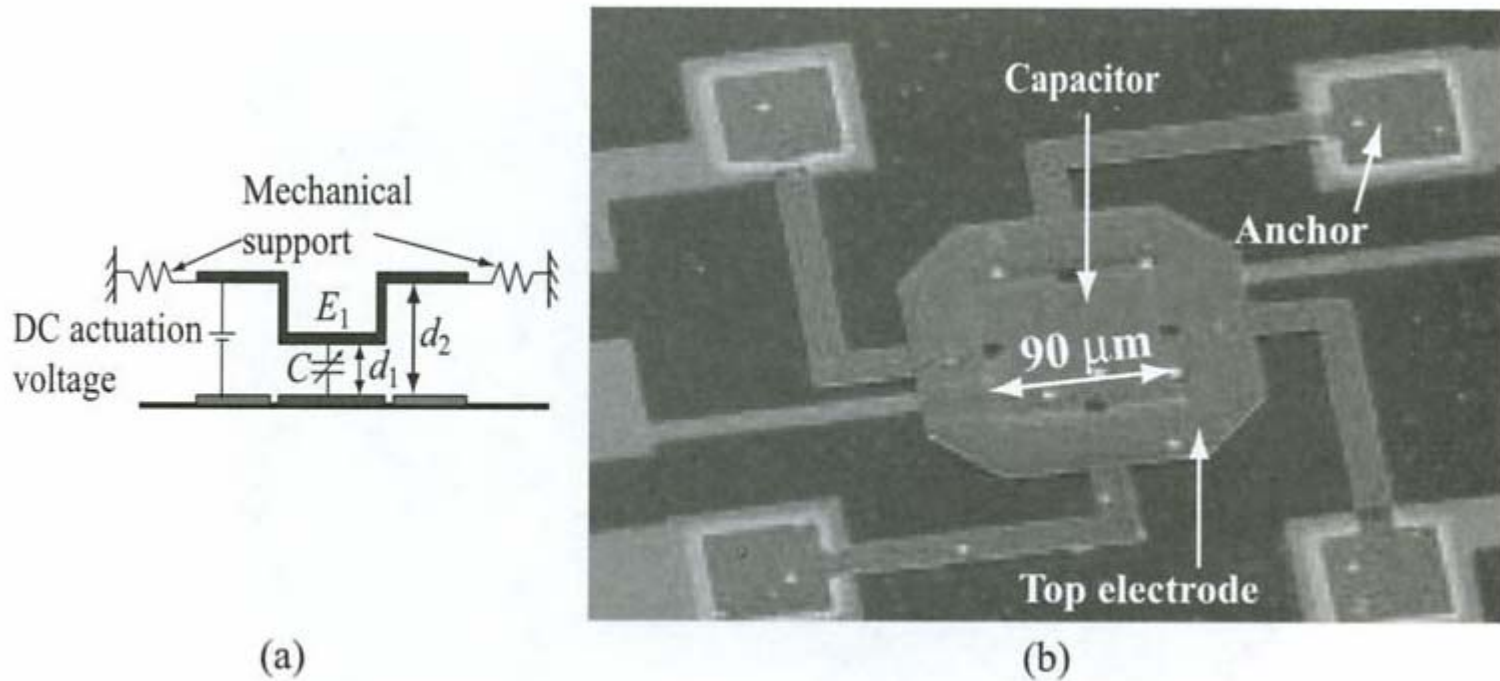
**Figure 11.5.** Top (a) and cross-sectional (b) views of the two-plate polysilicon MEMS varactor, and measured capacitance versus tuning voltage (c) [3] (Copyright IEEE).

# Dobbelt luft-gap kapasitans

- J. Zou et al, 2000, Univ of Illinois
- Hensikt med dobbelt luft-gap
  - Øke TR
    - Eliminere virkningen av pull-in-effekten
  - Kan trekke ned til  $1/3 d_2$  før pull-in inntreer
  - TR kan økes betraktelig hvis  $1/3 * d_2 > d_1$ 
    - Dvs. midtelektroden kan trekkes helt ned uten å erfare pull-in!



# Univ of Illinois, forts.

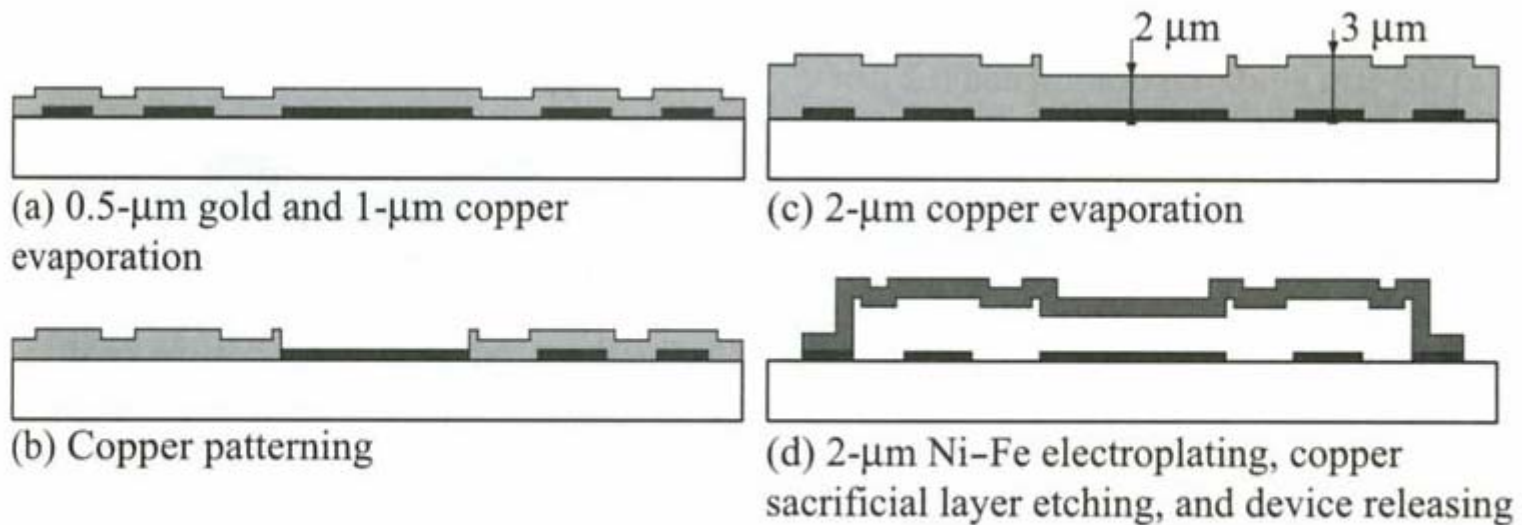


**Figure 11.12.** Cross-sectional (a) and top (b) view of the University of Illinois wide-tuning-range varactor [11] (Copyright Wiley).

# Univ of Illinois, forts.

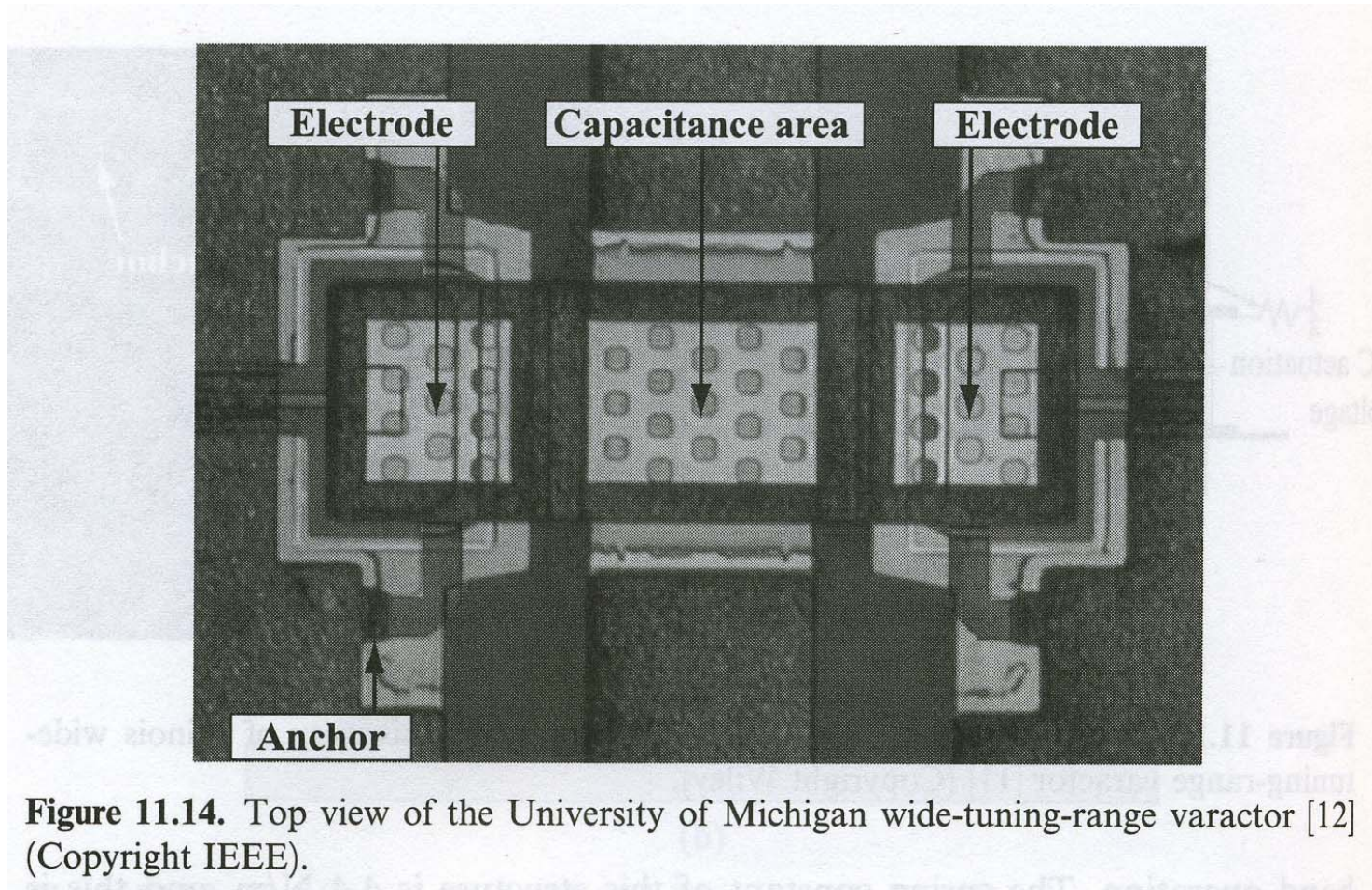
## Forenklet fabrikkasjonsprosess

- Kobber som offer-lag
- Metaller: gull & permaloy (Ni-Fe)
- Luft-gap:  $d1 = 2 \mu\text{m}$ ,  $d3 = 3 \mu\text{m}$



**Figure 11.13.** Fabrication process of the University of Illinois wide-tuning-range varactor [11] (Copyright Wiley).

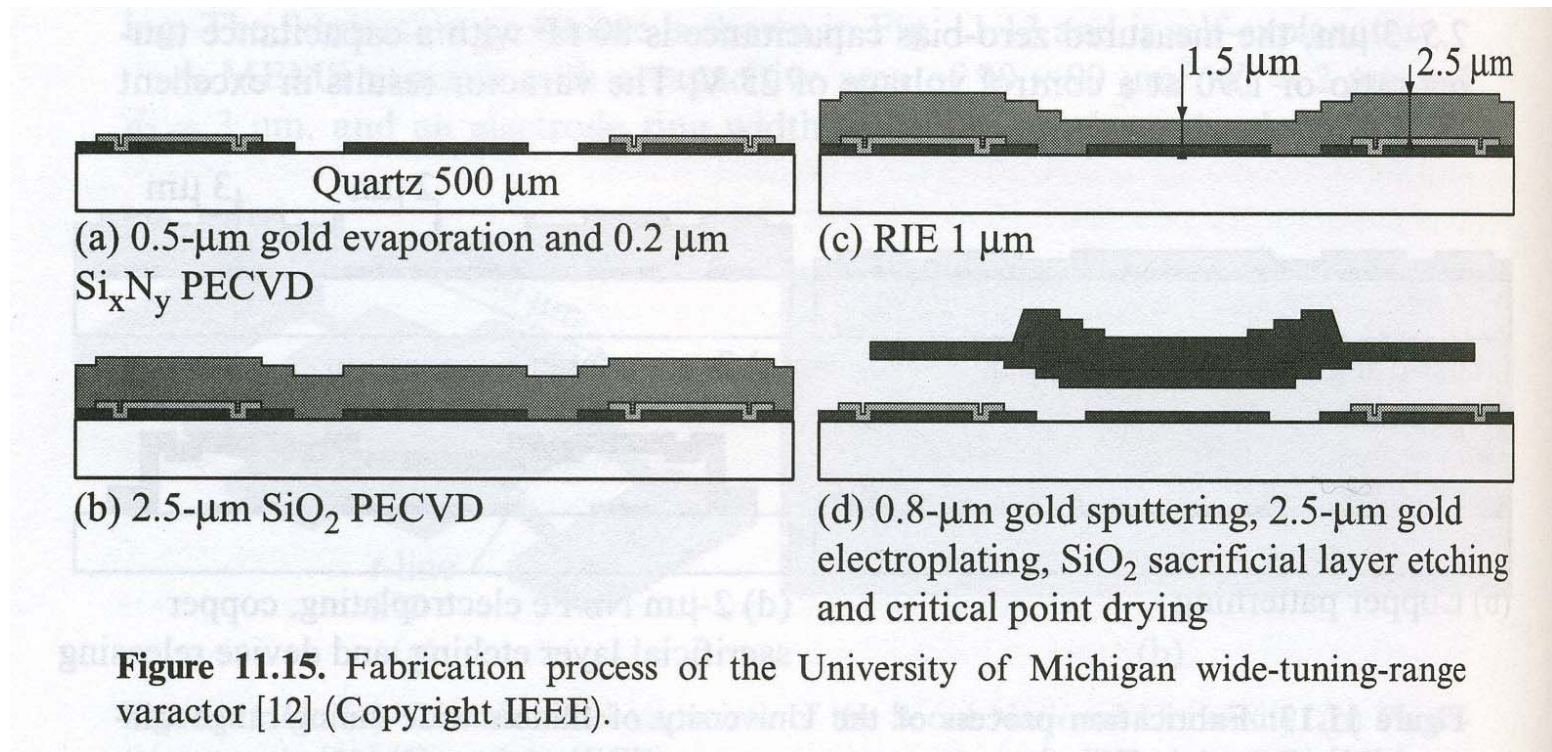
# Eks fra Univ of Michigan



**Figure 11.14.** Top view of the University of Michigan wide-tuning-range varactor [12] (Copyright IEEE).

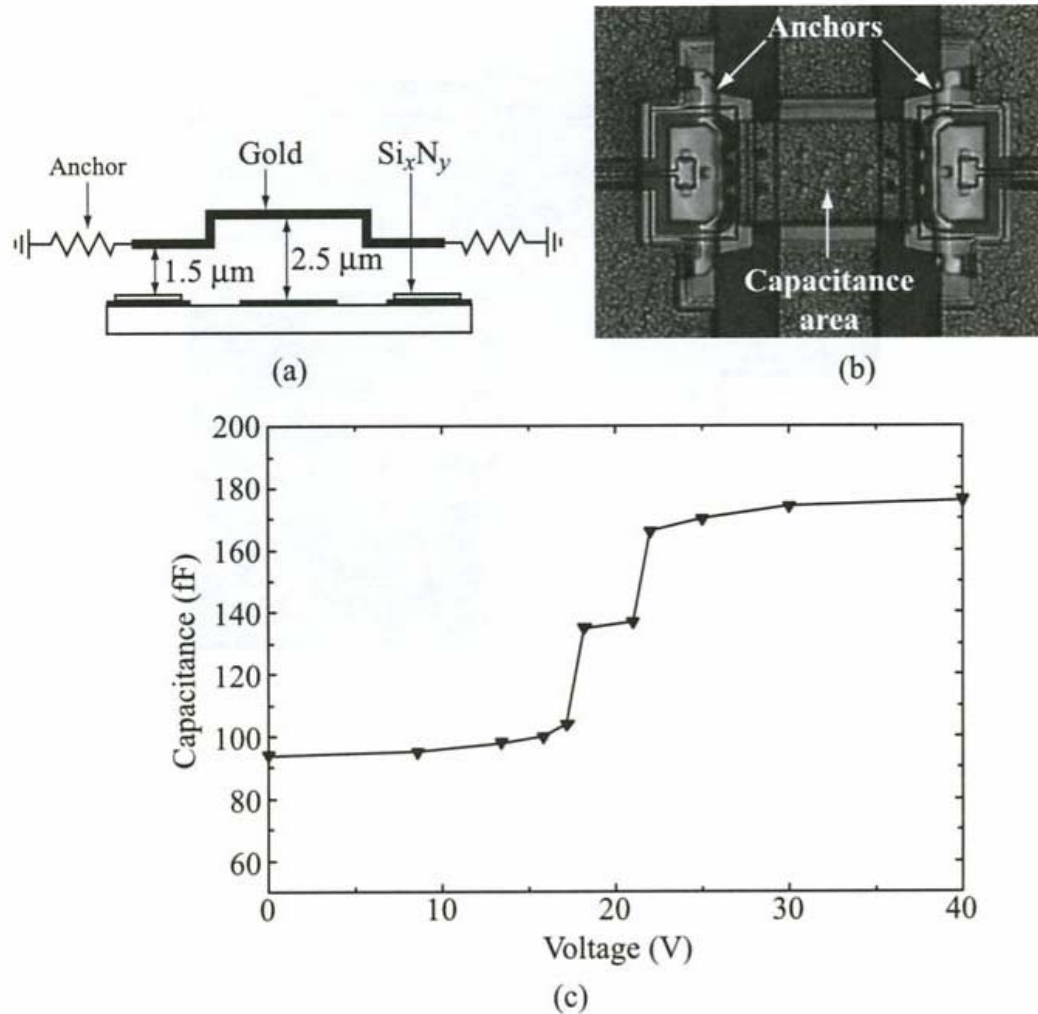
# Eks fra Univ of Michigan, forts.

- Realisert på kvarts-substrat
- SiO<sub>2</sub> offerlag etses delvis → 2-trinns Au membran
- Q = 120 @ 34 GHz





# Univ of Michigan, diskret 2-verdi



**Figure 11.29.** Cross section (a), top view (b), and measured capacitance (c) of the Michigan discrete two-value MEMS varactor [12] (Copyright IEEE).

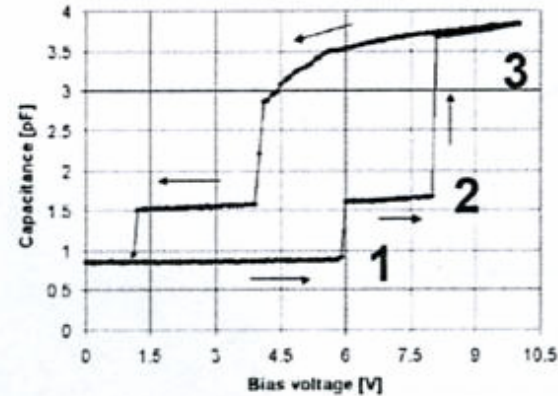
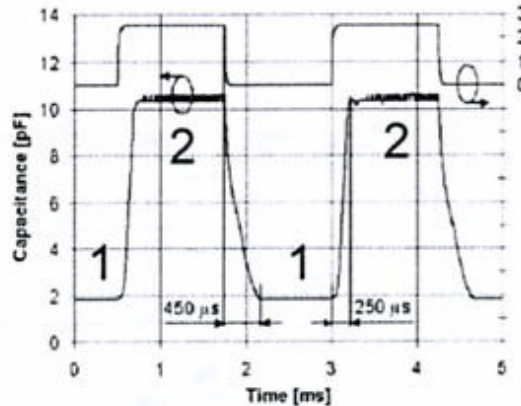
# Multi-state MEMS kapasitanser med multi luft-gap

- Eks fra Nokia → Nieminen
  - Ulike segmenter med multi-gap
- Kan tunes i trinn
  - 2 eller 3 trinns
- Kretsen oppviser hysterese-egenskaper

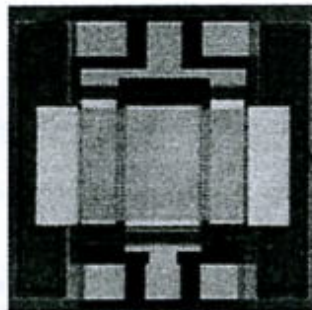


# Multi-state MEMS capacitors with multi-airgap

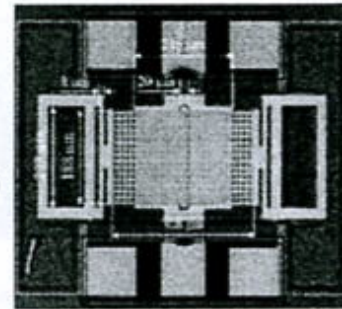
- capacitive-switch like design:  $t_{up}$  and  $t_{down}$  depend on  $k$  & voltage



2-state MEMS capacitor



3-state MEMS capacitor

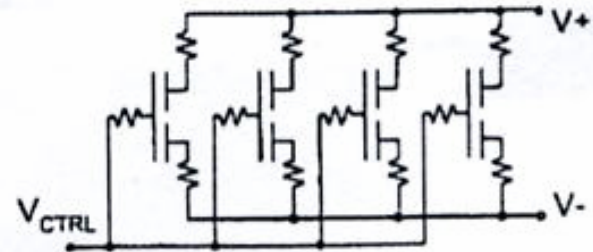
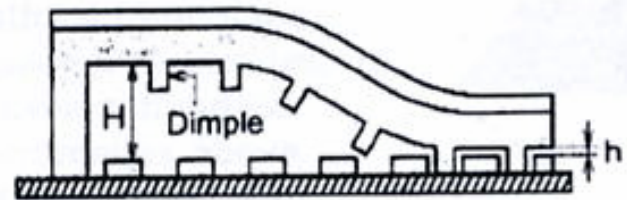


H Nieminen, V Ermolov, K Nybergh, S Silanto and T Ryhanen, J. Micromech. Microeng. 12 (2002) pp. 1–10.

# ”Glidelås”-kapasitans

- Eks. på glidelås cantilever kapasitans
- Design og fabrikasjon ved **Columbia University**
  - Lang, tynn bjelke legger seg ned fra enden
  - Små kapasitans-bidrag legges til i parallell

**Zipper-action cantilever**



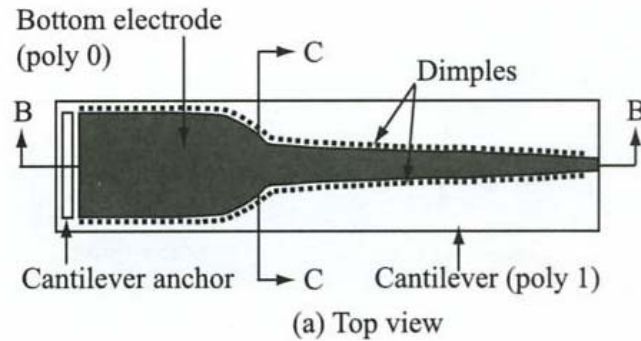
# Colombia University, forts.

- Ytelse:

**Performance:**

- **TR: 46%** with voltage~35V
- **Q=6.5 @1.5GHz**
- a CMOS VCO with this capacitor exhibited TR of 4.8% with center frequency of 1.5GHz and phase noise of  $-131\text{dBc/Hz}$  @ 600kHz offset

# Eks fra MIT



Mykest nær endepunktet

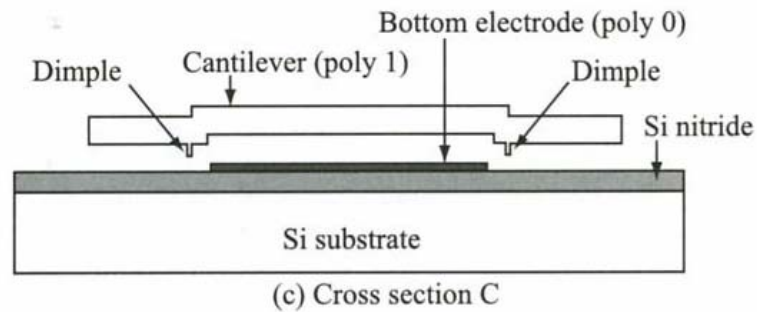
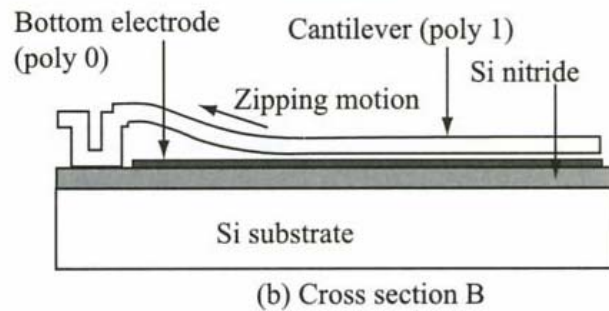
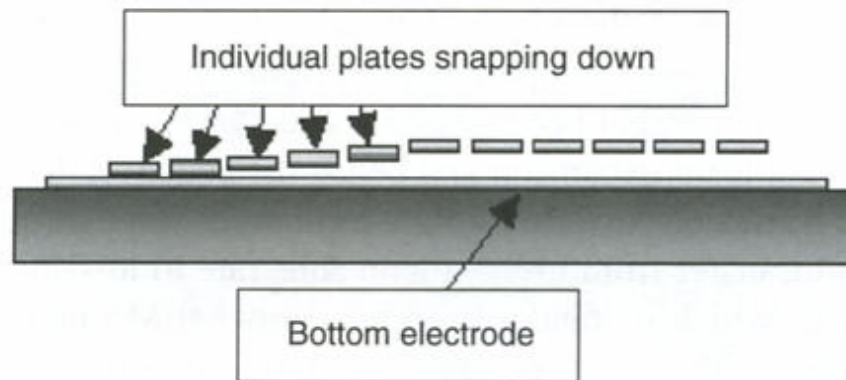


Figure 11.9. Top (a) and cross-sectional (b,c) view of the MIT zipper varactor [8].

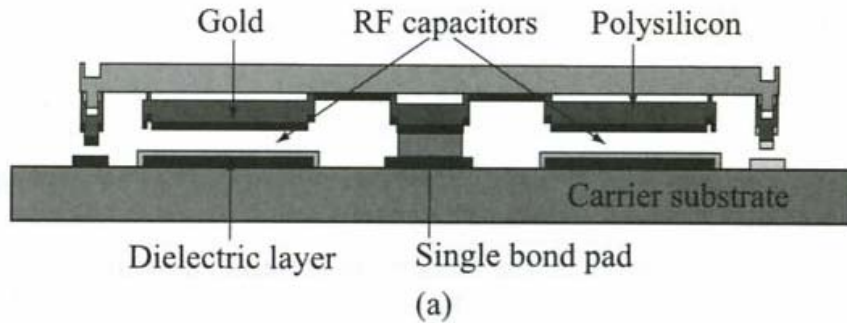
# Univ of Colorado, Boulder

- Digitalt kontrollerte enkelt-kapasitanser
- Har individuelle plater som kan trekkes ned etterhvert

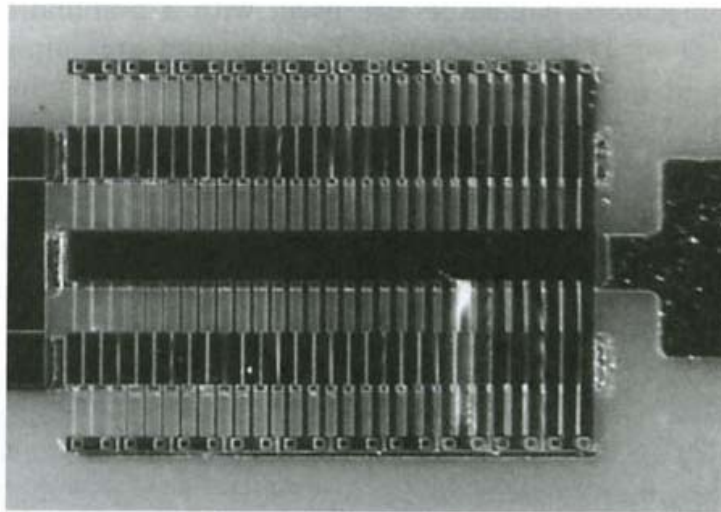


**Figure 4.38** Schematic diagram of the capacitor plate arrangement. Reproduced from N. Hoivik, M.A. Michalicek, Y.C. Lee, K.C. Gupta and V.M. Bright, 2001, 'Digitally controllable variable high- $Q$  MEMS capacitor for RF applications', in *Proceedings of IEEE MTT-S Symposium, May 2001, Volume 3*, IEEE, Washington, DC: 2115–2118, by permission of IEEE, © 2001 IEEE

# Univ of Colorado, Boulder



Hver plate koblet med forskjellig bredde på bjelken, dvs. ulik fjærkonstant for hver del



(b)

**Figure 11.30.** Cross section (a) and top view (b) of the Colorado RF MEMS varactor. The variable capacitors are the dark rectangles on both sides of the center conductor [23] (Copyright IEEE).



# Univ of Colorado, Boulder, forts.

- Standard MUMP's prosess (poly-Si og gull), alumina-substrat
- Elektrostatisk aktivering  $V = 30 \text{ V}$
- $TR = 4 : 1$
- $Q = 140 @ 750 \text{ MHz}$

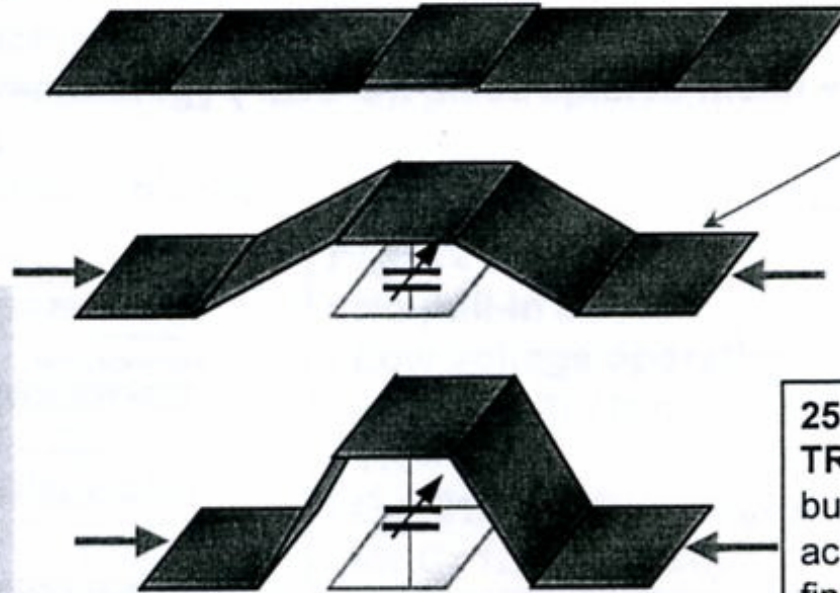
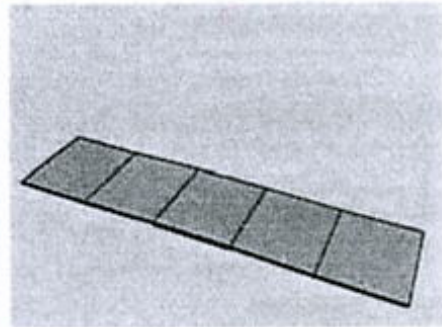
# Elevert plattform kapasitans

- L. Fan et al, 1998
  - En av elektrodene kan heves opp til flere hundre mikrometer over substratet
    - 250  $\mu\text{m}$  elevasjon, TR 2400%
    - ÷ Vanskelig å oppnå fin-tuning
- Benytter aktuator som skyver strukturen sammen
  - ”Scratch drive actuator”
  - Må realisere hengsler



# Elevated platform MEMS capacitor

**Idea:** raise a conductive platform (one of the capacitor electrodes) up to several hundred micrometers above substrate (silicon) surface



Scratch drive actuator (SDA) arrays

250 $\mu$ m elevation (!!)  
TR: 2400%  
but very difficult to achieve fine tuning

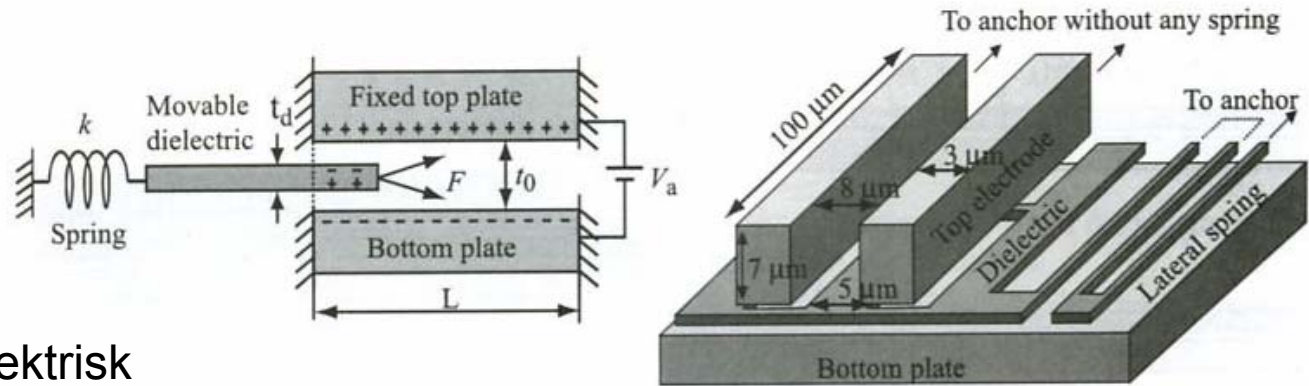
L. Fan, R. T. Chen, A. Nespola, 11th Annual International Workshop on Micro Electro Mechanical Systems (MEMS '98), 1998.

# Gap-tuning, selvaktivering

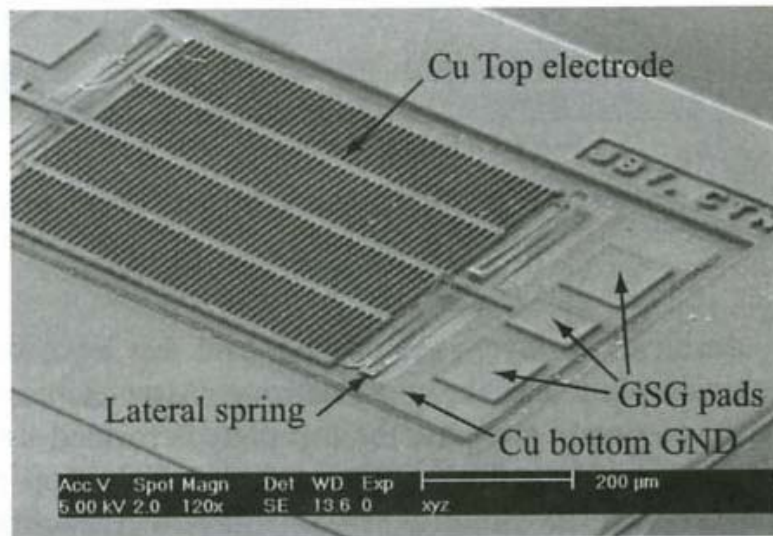
- Må konstruere slik at parallell plate kapasitansene kan behandle RF power
  - AC spenning påtrykkes RF MEMS kapasitansen
  - RF frekvensen modulerer ikke C-verdien
  - MEN, rms-verdien av RF-signalet vil influere C og kan indusere pull-in ved selvaktivering
- Kapasitanser for gap-tuning har begrenset RF power handlings-mulighet pga. lite elektrodegap
  - Reduksjon av avstand → RF breakdown

# Lateralt tunbare kapasitanser

- Horizontal bevegelse
  - Kan tunes ved å variere arealet,  $C = \epsilon A / g$
  - + Ingen teoretisk grense for TR
  - + Unngår pull-in-effekten
  - ÷ Fotolitografi bestemmer presisjon av avstander
  - ÷ Mer kompliserte opphengs-strukturer?
    - Må sikre at den bevegelige strukturen henger oppe
- Kamstruktur er vanlig



Bevegelig dielektrisk  
 membran mellom  
 faste plater, maskerer  
 det effektive arealet.  
 Univ of Michigan



**Figure 11.23.** The UoM interdigital capacitor with a movable dielectric layer (a,b), and SEM picture of the fabricated device (c) [19] (Copyright IEEE).

# Univ of Michigan, forts.

- Prinsipp: både topp og bunn er rigide
- Tuning oppnås ved en bevegelig dielektrisk membran (høy-k =  $\epsilon$ ) som er elektrostatiske drevet
- Ytelsesparametre
  - IC kompatibel teknologi (<200 ° C), post CMOS
  - Elektroplattert metall + overflate mikromaskinering
  - Bevegelig dielektrisk membran av Nitrid
  - Ingen pull-in effekt
  - Lav aktiveringsspenning < 10 V med  $k= 0.187$  N/m
  - TR = 40%
  - Q = 218 @ 1 GHz for C = 1.14 pF design (noe av det høyeste som er rapportert!)

# Univ of Michigan, forts.

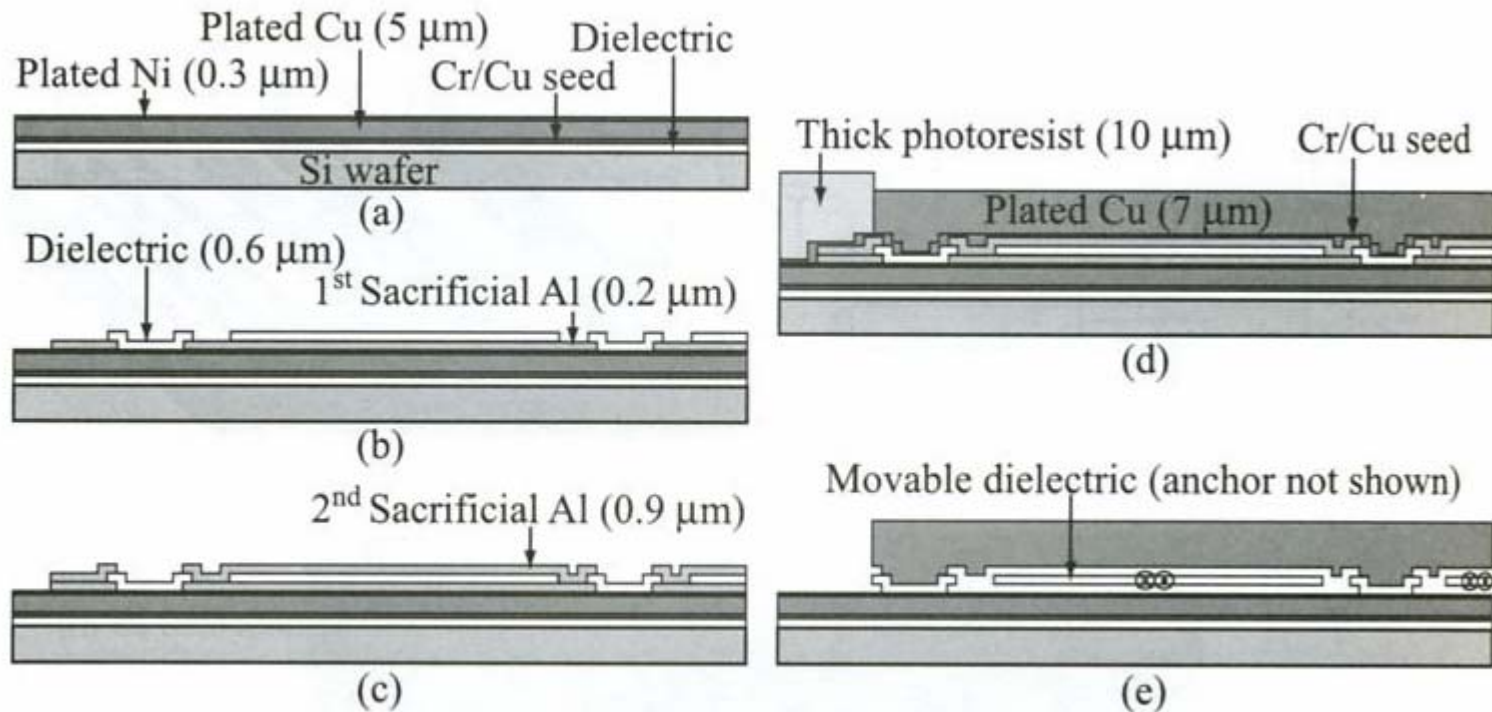


Figure 11.24. Fabrication process of the UoM interdigital capacitor [19] (Copyright IEEE).



# Enkel kam-struktur

- Eks fra **Rockwell Science Center** →
  - Inter-digital tunbar MEMS kapasitans
  - Et sett kammer er stasjonære, det andre settet kan beveges
  - Gapet forblir uendret
  - Lengden av kammen begrenser tuning range
  - Tuning ved elektrostatisk mikromotor eller ulike akviverings-spenninger



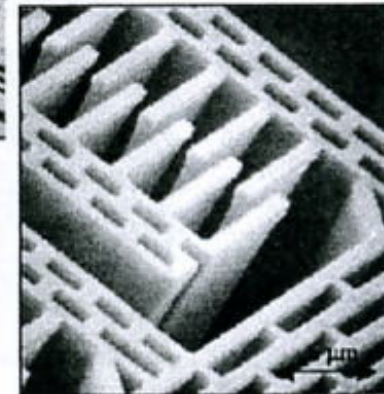
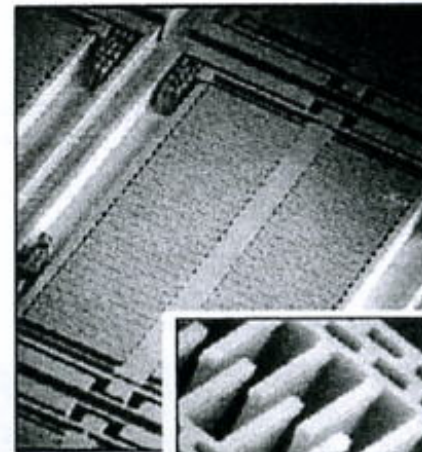
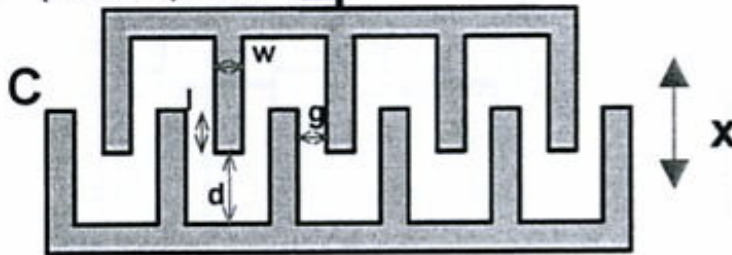
# Comb-like (inter-digital) tunable MEMS capacitors

Deflection:

$$x = V^2 (dC/dx) / 2k$$



Idea: area-tuning capacitor



71

## Design and fabrication

(Rockwell Science Center):

- Comb-like structure using single mask process
- Deep anisotropic silicon etching technique in ICP (inductively coupled plasma) reactor
- **Very flexible design: large range of C and TR**

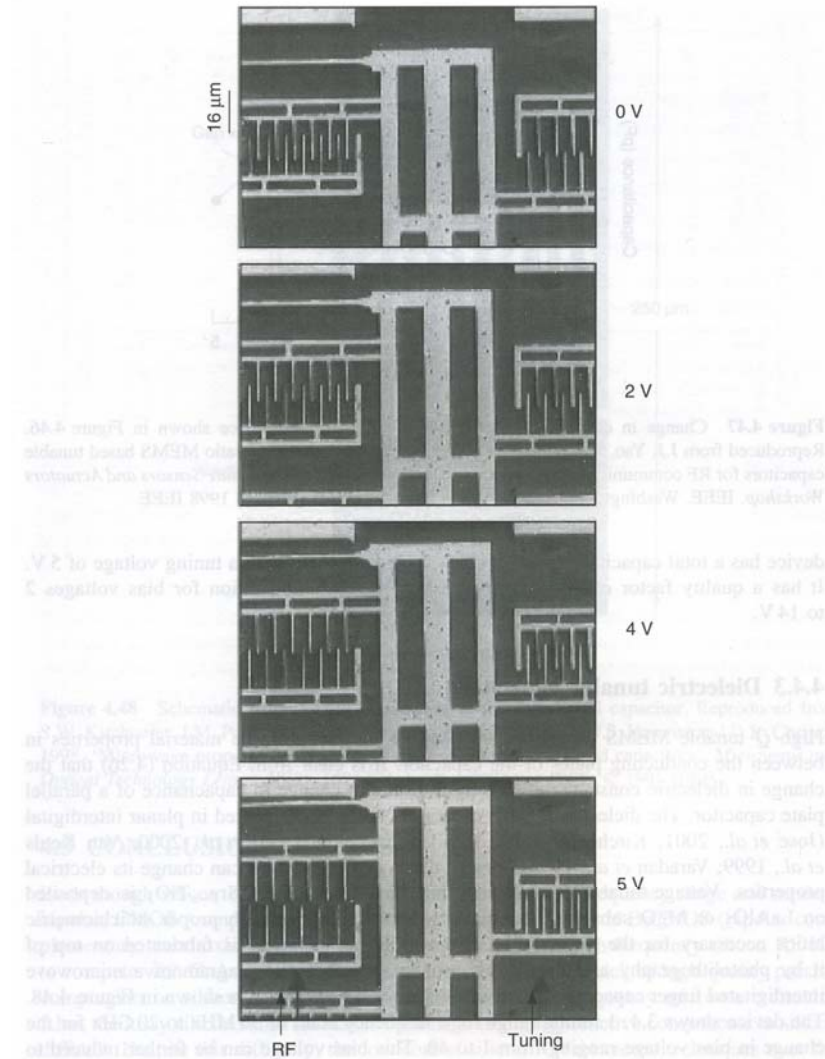
## Figures of merit:

- TR= 200%  $C_{max}=3.2\text{pF}$ ,  $C_{min}=6.44\text{pF}$ ,  $V=5\text{V}$
- Recent results show:  $Q > 40-160 @ 400-1600\text{MHz}$

J.J. Yao, S. Park and J. DeNatale, Solid-State Sensor and Actuator Workshop, Hilton Head Island, SC, 1998, pp. 124-127.

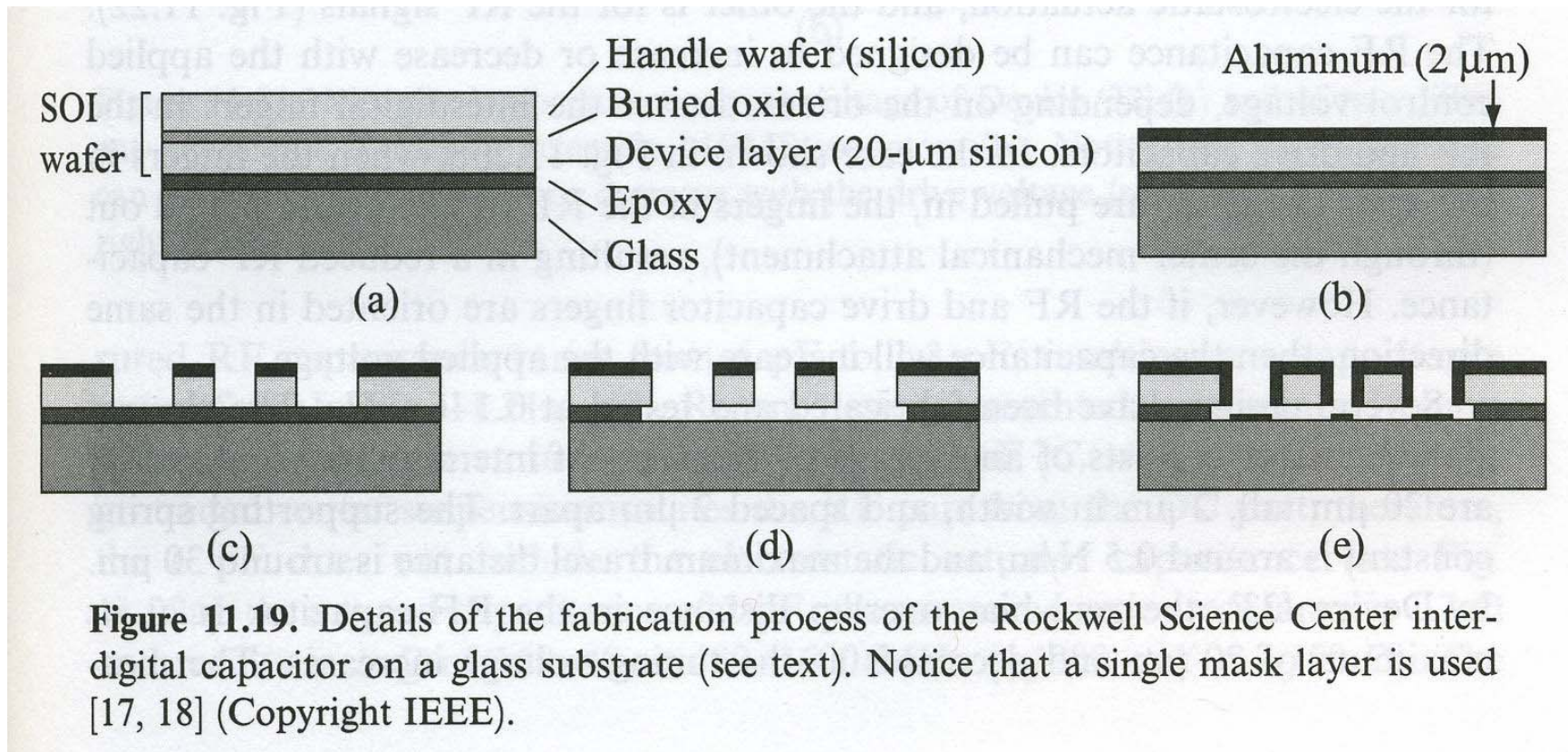
# Rockwell Science Center, forts.

Eks fra tuning

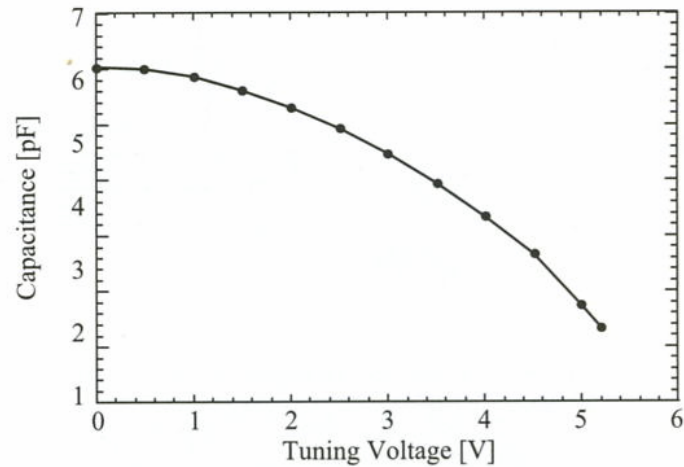


**Figure 4.46** Series of images showing a MEMS tunable capacitor with a tuning voltage of 0 to 5-V. Reproduced from J.J. Yao, S. Park and J. DeNatale, 1998, 'High tuning ratio MEMS based tunable capacitors for RF communications applications' in *Proceedings of solid-state sensors and Actuators Workshop*, IEEE, Washington, DC: 124–127, by permission of IEEE, © 1998 IEEE

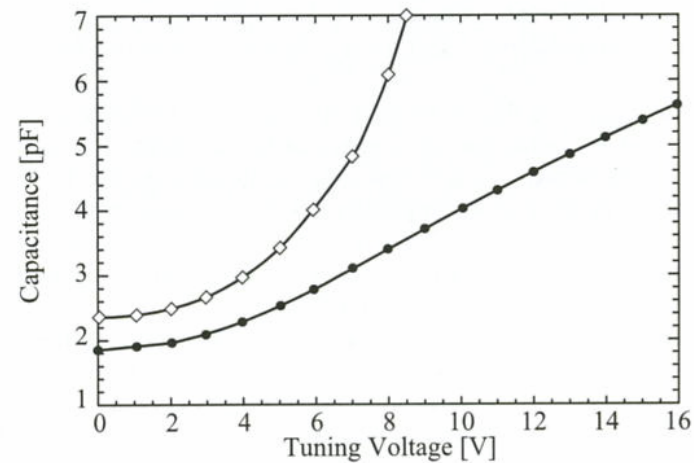
# Rockwell Science Center, forts.



# Rockwell Science Center, forts.



(a)



(b)

**Figure 11.21.** Measured capacitance versus voltage of Device '33' (a) and of two different interdigital Rockwell Scientific MEMS varactors (b). Notice that the capacitance can be designed to increase or decrease with the drive voltage (see text) [17, 18] (Copyright IEEE).

# Termisk tunbar parallell-plate MEMS kapasitans

- Benytter varme og kalde armer
  - En høy-resistivitets-arm vil bli varmere og vil deformeres mer
    - Differensiell termisk ekspansjon
- Ulempen med teknikken
  - **Effekt-dissipasjon**
  - **Lav hastighet**
  - Men fjerner pull-in-begrensningen

# Z. Feng et al, Univ of Colorado

## **Design and Modeling of RF MEMS Tunable Capacitors Using Electro-thermal Actuators**

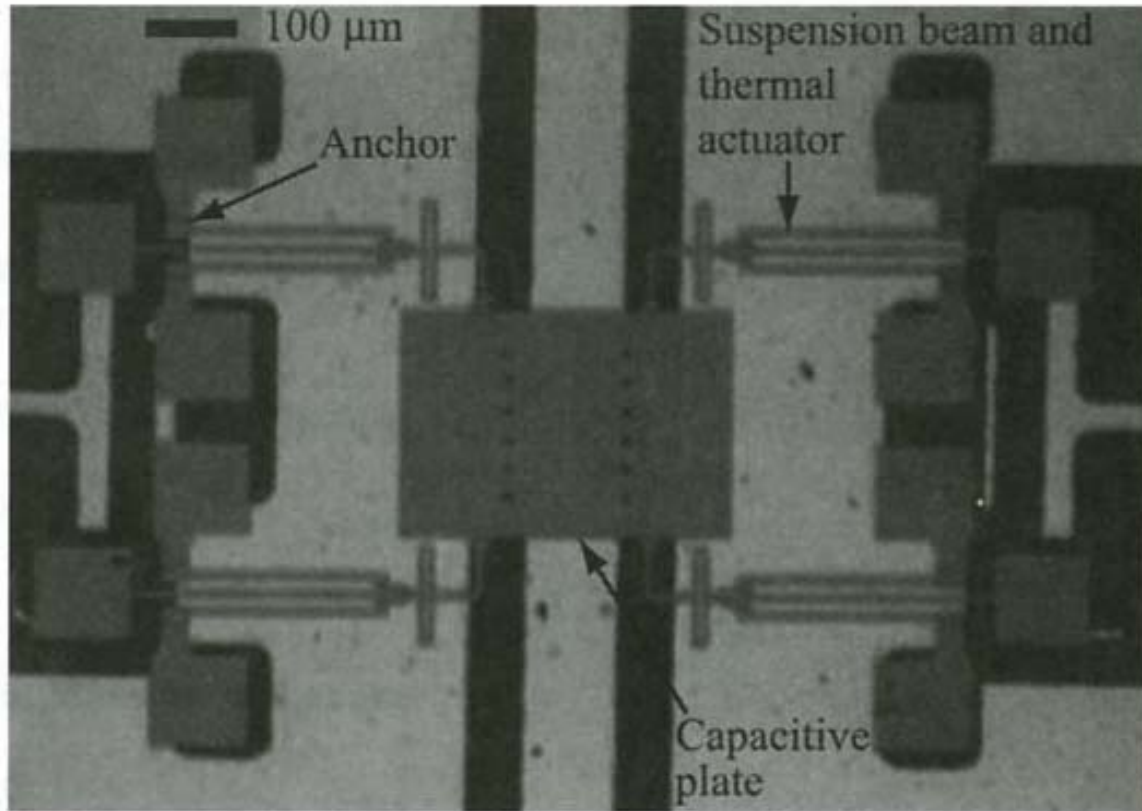
Zhiping Feng, Wenge Zhang, Bingzhi Su, Kevin F. Harsh, K. C. Gupta, V. Bright, and Y. C. Lee

C AMPmode

University of Colorado at Boulder

Boulder, CO 80309-0425

# Univ of Colorado, forts.

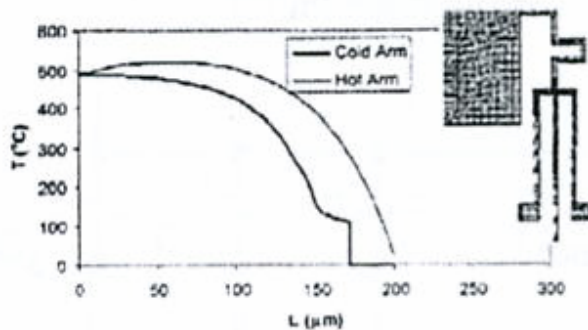
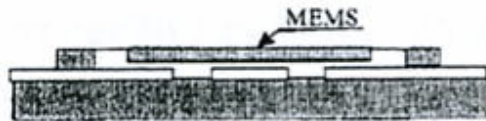


**Figure 11.16.** Top view of the University of Colorado thermally actuated MEMS varactor in a CPW circuit [13] (Copyright IEEE).

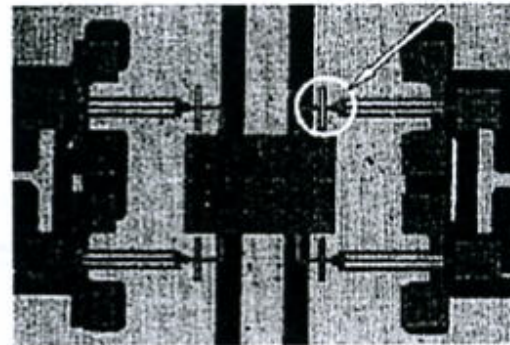




# Thermally tunable parallel-plate MEMS capacitor



- capacitor designed for millimeter-wave (up to 40GHz) applications using standard MUMP's process (poly-Si and gold) and transfer of the device on ceramics substrate
- **actuation is electro-thermal by 4 vertical electrothermal actuators (hot & cold arms)**

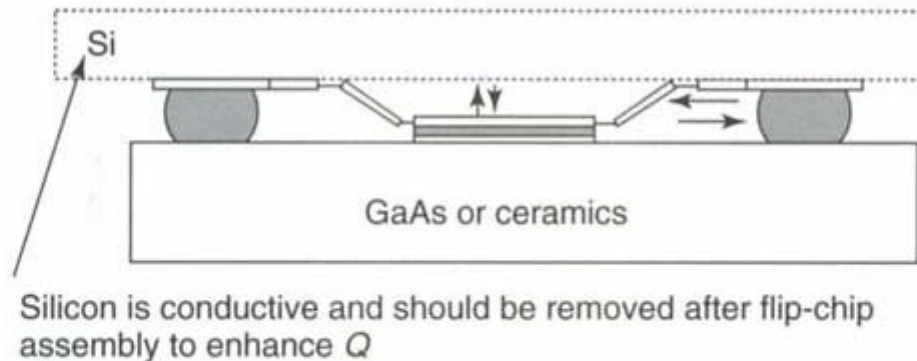


**Performance:**  
 TR=2.7:1  
 Q=300 @  
 C=0.1pF, 10GHz

Z. Feng, W. Zhang, B. Su, K.F. Harsh, K.C. Gupta, V. Bright, Y.C. Lee, Microwave Symposium Digest, 1999 IEEE MTT-S International, Volume: 4, June 1999, pp. 1507 –1510.

Temperaturdifferansen forårsaker en vertikal bevegelse

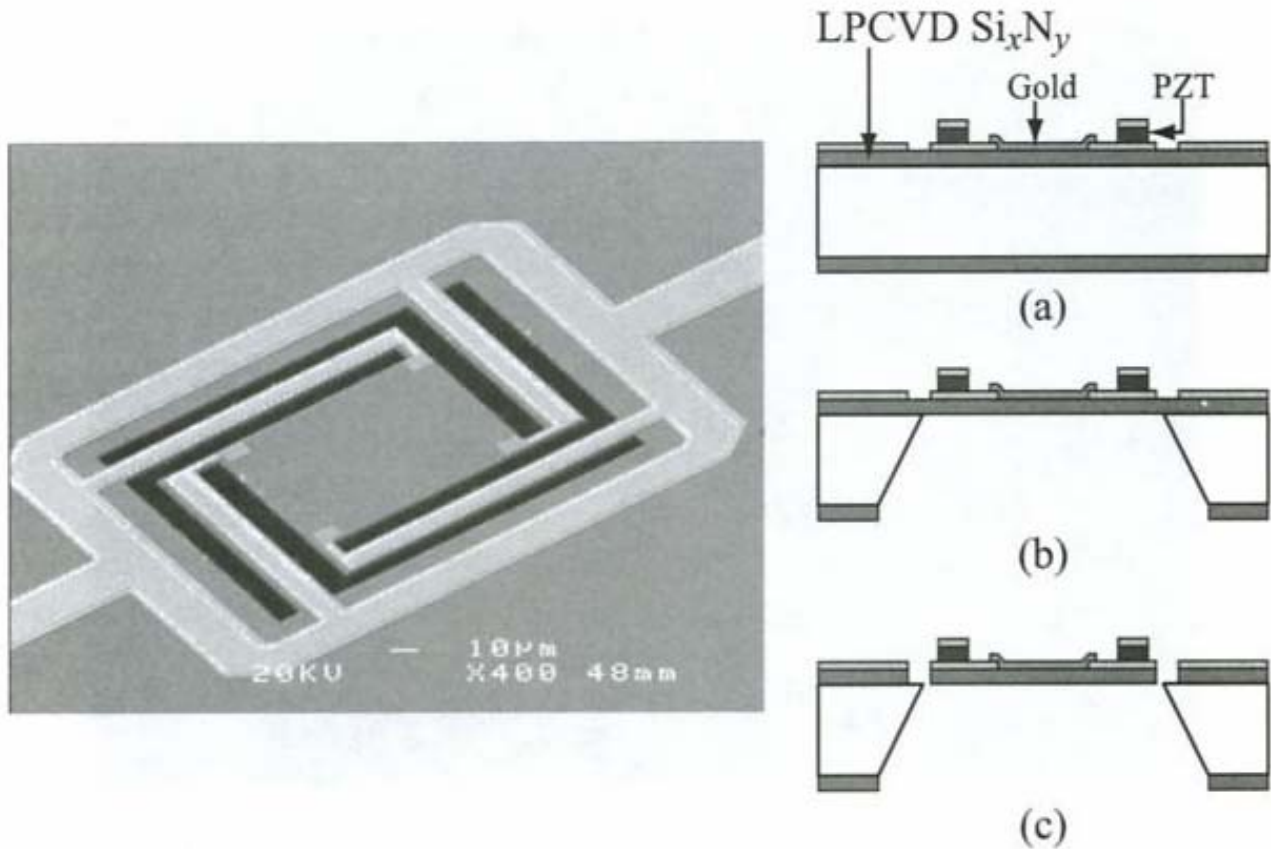
# Elektro-termisk tuning



**Figure 4.39** Flip-chip assembly of silicon-based MEMS. Reproduced from K.F. Harsh, B. Su, W. Zhang, V.M. Bright and Y.C. Lee, 2000, 'The realization and design considerations of flip-chip integrated MEMS tunable capacitor', *Sensors and Actuators A: Physical* **80**: 108–118, with permission from Elsevier Science, © 2000 Elsevier Science

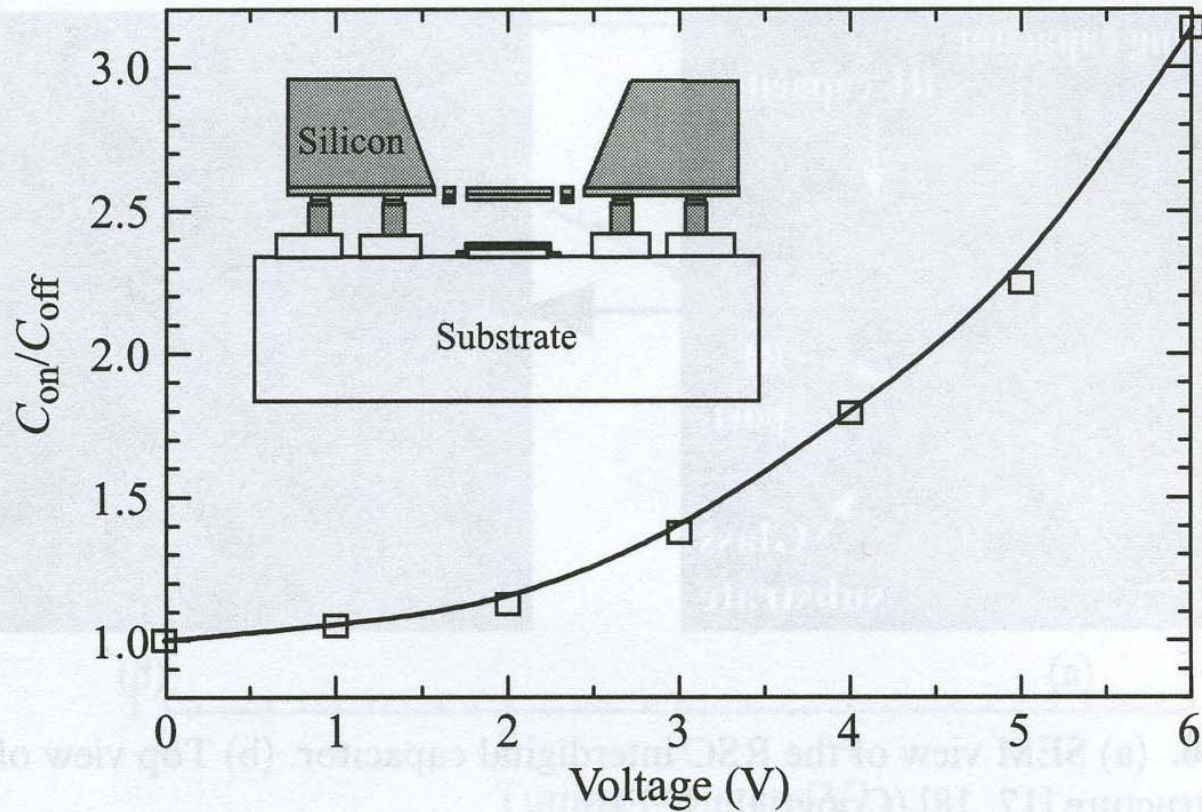
# Piezoelektrisk tuning

- En bias spenning forårsaker vertikal bevegelse av kondensator-platen
- + Lav drive-spenning
- + Lineær tuning av kapasitans



**Figure 11.17.** Top view and fabrication process of the LG-Electronics piezoelectric varactor [15] (Copyright IEEE).

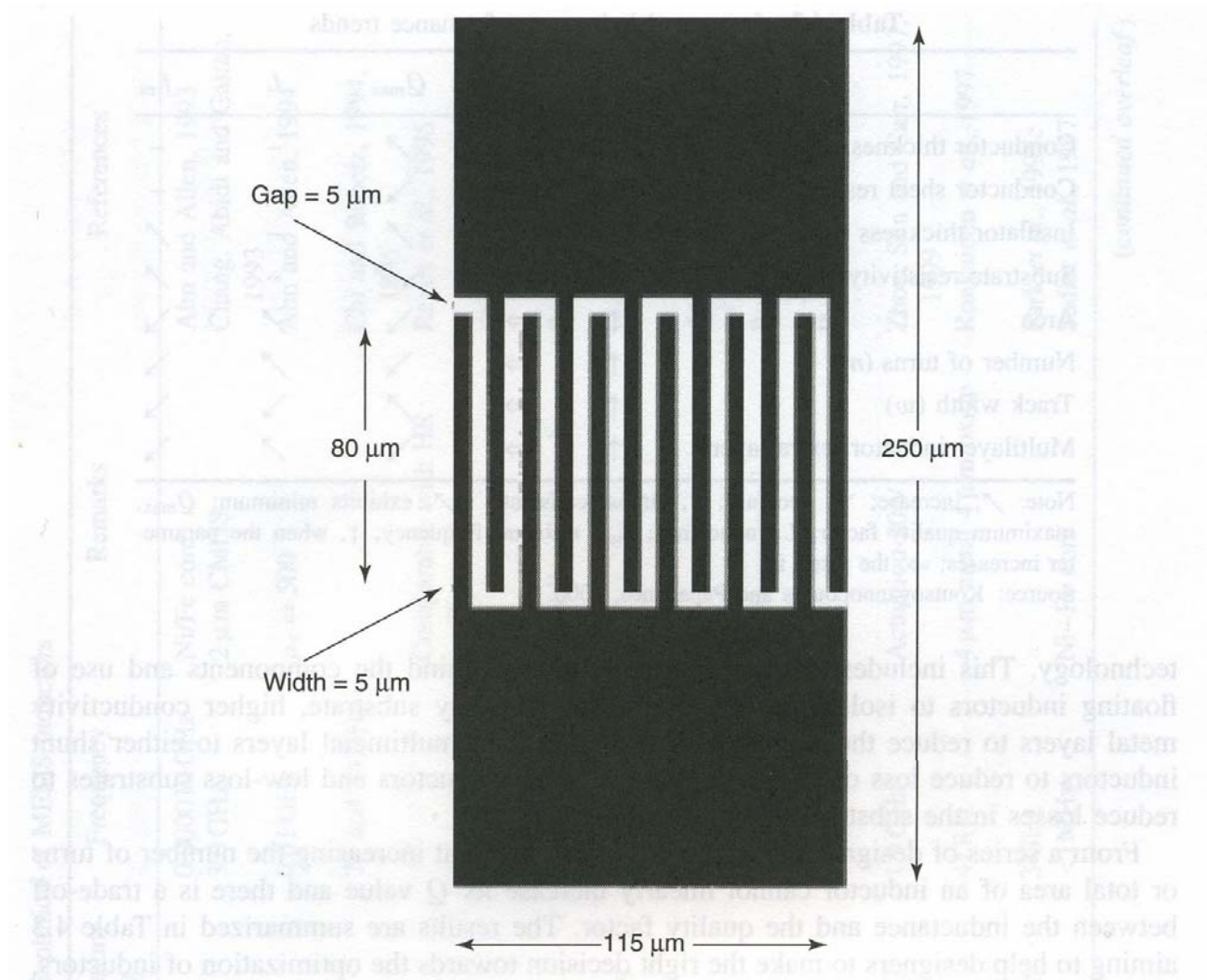
To av bjelkene forlenges



**Figure 11.18.** Measured capacitance ratio of the LG-Electronics piezoelectric varactor [15] (Copyright IEEE).

# Dielektrisk tunbare kapasitanser

- Endring av materialegenskapene mellom platene
  - DC bias spenning kan endre de elektriske egenskapene
    - Dielektrisitets-laget
    - Dielektrisitetskonstanten,  $\epsilon$
  - Ferro-elektriske tynn-filmer, Var fig. 4.48 →



**Figure 4.48** Schematic diagram and dimensions of the interdigital capacitor. Reproduced from S.W. Kirchoefer, J.M. Pond, A.C. Carter, W. Change, K.K. Agarwal, J.S. Horwitz and D.B. Chrisey, 1998, 'Microwave properties of  $\text{Sr}_{0.5}\text{Ba}_{0.5}\text{TiO}_3$  thin film interdigitated capacitors', *Microwave and Optical Technology Letters* **18**(3): 168–171, by permission of IEEE, © 1998 IEEE

# RF MEMS kapasitans banker

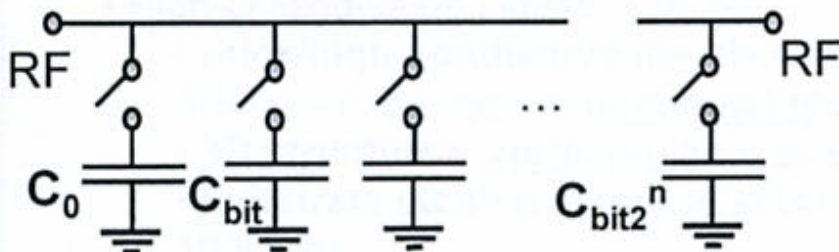
- Kan programmeres ved en digital verdi
  - Kobler inn faste C-verdier
  - Både serie- og shunt-konfigurasjon er mulig



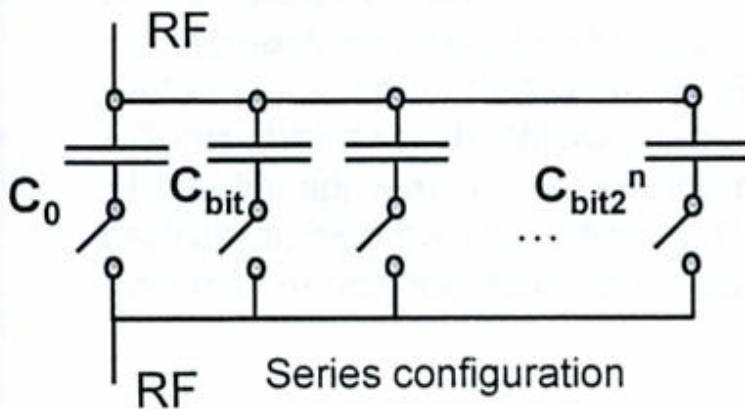


# RF MEMS capacitor banks

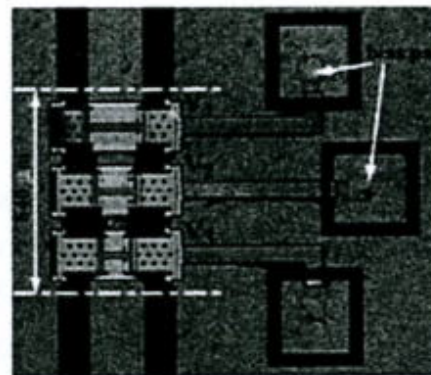
n-bit capacitor bank with capacitive switch and fixed  $C_0$



Shunt configuration



Series configuration



**Design and process** (University of Michigan)

- 3-bit digital MEMA varactor on glass substrate

## Performance

- TR= 3:1, C=146- 430fF in K-band
- Q= 5 – 10 @ 10GHz
- Q > 50 – 200 reported by same authors

L. Dussopt and G. Rebeiz, IEEE Microwave and wireless comp. Letts, vol. 14, 2003, pp. 361-363.

# Termiske forhold, stress

- Termisk design av MEMS kapasitanser?
  - Et eksempel
    - H. Nieminen et al: "Design of a Temperature-Stable RF MEMS Capacitor, J MMSyst, vol 13, no 5, 2004:
    - Legge kapasitansen inn i en ramme-struktur →
    - Bruke rammen for å kompensere for det termisk induuerte stresset
    - Feste kapasitansen slik at når rammen blir deformert, så får en minimale stress-effekter på kapasitansen (f.eks. hjørnene beveger seg lite )

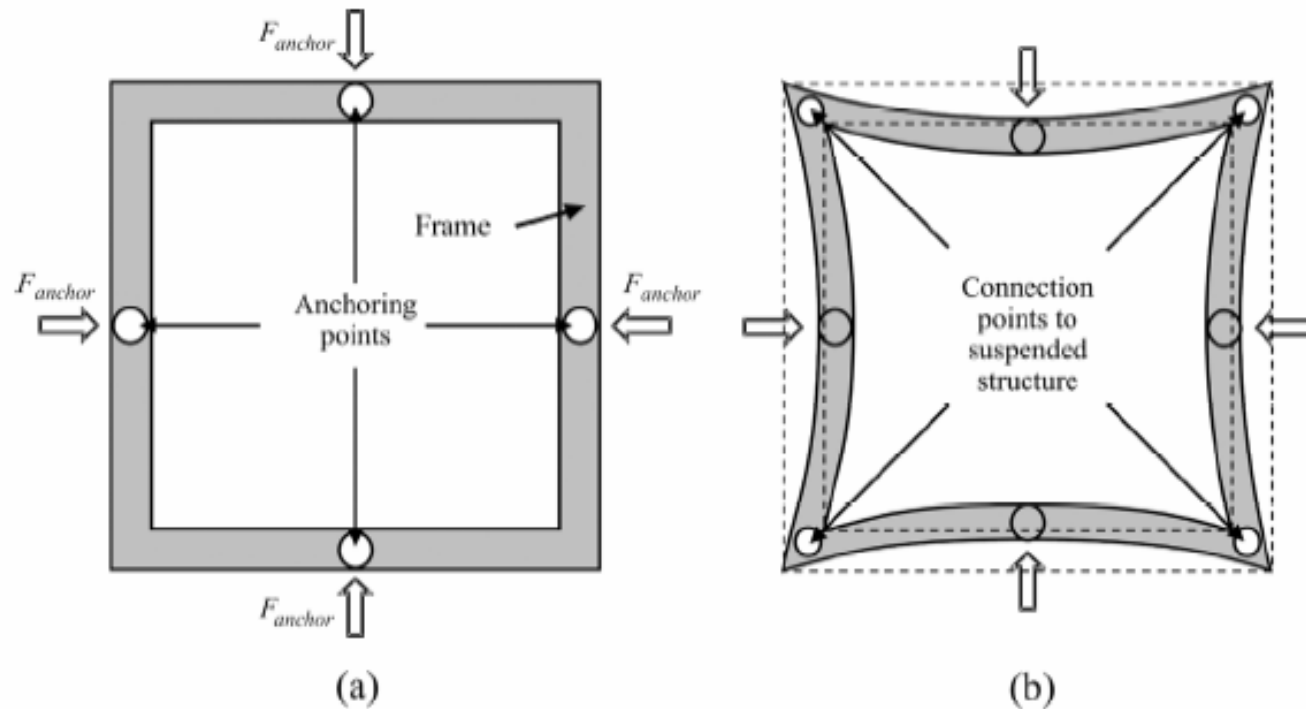


Fig. 2. The steps to create geometrical compensation of a suspended structure against external stress for arbitrary geometry are as follows. (a) Create frame geometry. Designate anchoring points. The force ( $F_{anchor}$ ) that simulates the effect of external stress is exerted on these anchoring points. The force is directed to the geometrical center of the frame. (b) The frame bends due to the force. However, if the anchoring points and the geometry of the frame are selected properly, there are points in the frame that do not move or move very slightly. These are points where the frame is connected to the suspended structure.

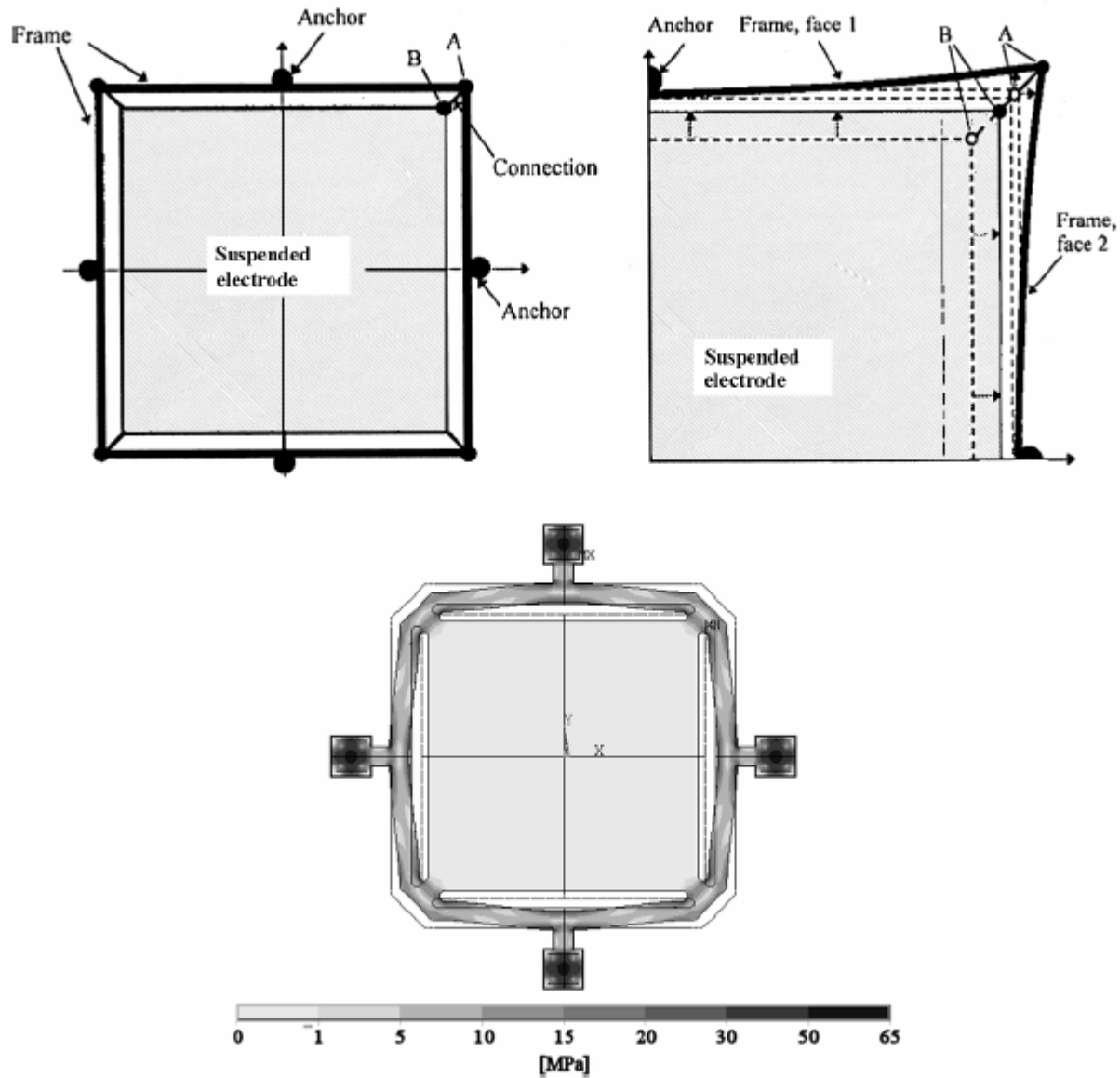


Fig. 3. FEM analysis of the temperature-compensated capacitor. Simulation is done with ANSYS. The temperature change is  $-50\text{ }^{\circ}\text{C}$ . The substrate is silicon. The suspended electrode, the frame and the anchors are  $4\text{-}\mu\text{m}$ -thick gold. The scale at the bottom of the figure shows stress. Displacements in the figure are exaggerated.